

<sup>124</sup>Sn(<sup>51</sup>V,5n $\gamma$ ) **2010Ag06,1985Ba48**

Type	Author	History	Citation	Literature Cutoff Date
Full Evaluation	C. M. Baglin <sup>1</sup> , E. A. Mccutchan <sup>2</sup> , S. Basunia <sup>1</sup>		NDS 153, 1 (2018)	1-Oct-2018

Additional information 1.

**2010Ag06:** E=228 MeV; Gammasphere detector array (100 Compton-suppressed Ge detectors) at the ATLAS facility at Argonne National Laboratory; measured E $\gamma$ , I $\gamma$ ,  $\gamma\gamma$ ,  $\gamma(\theta)$ .

**1985Ba48:** E=230 MeV; Compton suppressed Ge(Li) detectors; measured E $\gamma$ ,  $\gamma\gamma$ -coin and  $\gamma(\theta)$ ; rotational band, cranked shell-model and semiclassical vector-coupling scheme analysis.

**1985Ba48** reported an additional  $\Delta J=2$  band, with tentative configuration= $((\pi 1/2[541])+(\nu i_{13/2}))$ ,  $\alpha=1$ , but it is not adopted here. Instead, its transitions have been reassigned to <sup>170</sup>Hf, based on  $\gamma$  excit and (K x ray)-(100 $\gamma$ +221 $\gamma$ ) coin data from a subsequent <sup>159</sup>Tb(<sup>16</sup>O,y $\rho$ xn $\gamma$ ) study by **1998Zh08**. The (E2)  $\gamma$  cascade reported by **1985Ba48** (viz., 707 $\gamma$ -655 $\gamma$ -615 $\gamma$ -583.3 $\gamma$ -549.7 $\gamma$ -509.5 $\gamma$ -461.8 $\gamma$ -399.5 $\gamma$ -320.5 $\gamma$ -221 $\gamma$ ) closely resembles that known for the <sup>170</sup>Hf g.s. band.

<sup>170</sup>Ta Levels

Nomenclature for quasiparticle orbitals:

A<sub>p</sub>:  $\pi 5/2[402], \alpha=+1/2$  from d<sub>5/2</sub> orbital.

B<sub>p</sub>:  $\pi 5/2[402], \alpha=-1/2$  from d<sub>5/2</sub> orbital.

C<sub>p</sub>:  $\pi 7/2[404], \alpha=+1/2$  from g<sub>7/2</sub> orbital.

D<sub>p</sub>:  $\pi 7/2[404], \alpha=-1/2$  from g<sub>7/2</sub> orbital.

E<sub>p</sub>:  $\pi 9/2[514], \alpha=+1/2$  from h<sub>11/2</sub> orbital.

F<sub>p</sub>:  $\pi 9/2[514], \alpha=-1/2$  from h<sub>11/2</sub> orbital.

G<sub>p</sub>:  $\pi 1/2[541], \alpha=+1/2$  from h<sub>9/2</sub> orbital.

H<sub>p</sub>:  $\pi 1/2[541], \alpha=-1/2$  from h<sub>9/2</sub> orbital.

I<sub>p</sub>:  $\pi 1/2[411], \alpha=+1/2$  from d<sub>3/2</sub> orbital.

J<sub>p</sub>:  $\pi 1/2[411], \alpha=-1/2$  from d<sub>3/2</sub> orbital.

A:  $\nu 5/2[642], \alpha=+1/2$  from i<sub>13/2</sub> orbital.

B:  $\nu 5/2[642], \alpha=-1/2$  from i<sub>13/2</sub> orbital.

C:  $\alpha=+1/2$  from i<sub>13/2</sub> orbital.

D:  $\alpha=-1/2$  from i<sub>13/2</sub> orbital.

E:  $\nu 5/2[523], \alpha=+1/2$  from h<sub>9/2</sub> orbital.

F:  $\nu 5/2[523], \alpha=-1/2$  from h<sub>9/2</sub> orbital.

Band assignments are based on alignments, band crossings, B(M1)/B(E2) ratios and additivity of Routhians.

E(level) <sup>†</sup>	J $\pi^{\ddagger}$	E(level) <sup>†</sup>	J $\pi^{\ddagger}$	E(level) <sup>†</sup>	J $\pi^{\ddagger}$
0.0+x <sup>g</sup>	7 <sup>+</sup>	268.3+x <sup>@</sup> 5	9 <sup>-</sup>	473.17+x <sup>n</sup> 23	9 <sup>+</sup>
32.6+x <sup>n</sup> 4	5 <sup>+</sup>	291.31+x <sup>i</sup> 17	9 <sup>+</sup>	496.6+x <sup>@</sup> 5	11 <sup>-</sup>
46.1+x <sup>&amp;</sup> 6	6 <sup>-</sup>	312.04+x <sup>o</sup> 13	8 <sup>+</sup>	536.37+x <sup>g</sup> 16	11 <sup>+</sup>
56.7+x <sup>@</sup> 6	7 <sup>-</sup>	322.4+x <sup>a</sup> 6	9 <sup>-</sup>	584.62+x <sup>o</sup> 15	10 <sup>+</sup>
89.23+x <sup>f</sup> 12	8 <sup>+</sup>	323.95+x 14		595.6+x <sup>a</sup> 5	11 <sup>-</sup>
110.8+x <sup>m</sup> 4	6 <sup>+</sup>	328.2+x <sup>m</sup> 3	8 <sup>+</sup>	614.51+x <sup>i</sup> 16	11 <sup>+</sup>
131.8+x <sup>a</sup> 6	7 <sup>-</sup>	339.66+x 19		626.21+x <sup>m</sup> 20	10 <sup>+</sup>
145.6+x <sup>#</sup> 6	8 <sup>-</sup>	362.59+x <sup>f</sup> 14	10 <sup>+</sup>	626.59+x 24	
170.86+x <sup>p</sup> 16	7 <sup>+</sup>	365.7+x <sup>#</sup> 5	10 <sup>-</sup>	637.55+x 20	
180.84+x <sup>h</sup> 21	8 <sup>+</sup>	394.0+x <sup>&amp;</sup> 5	10 <sup>-</sup>	663.5+x <sup>#</sup> 5	12 <sup>-</sup>
182.6+x <sup>&amp;</sup> 6	8 <sup>-</sup>	395.02+x <sup>p</sup> 14	9 <sup>+</sup>	698.7+x <sup>&amp;</sup> 5	12 <sup>-</sup>
206.7+x <sup>b</sup> 6	6 <sup>(-)</sup>	434.8+x <sup>b</sup> 6	8 <sup>(-)</sup>	719.2+x <sup>b</sup> 6	10 <sup>(-)</sup>
210.83+x <sup>g</sup> 13	9 <sup>+</sup>	436.67+x <sup>h</sup> 17	10 <sup>+</sup>	723.74+x <sup>p</sup> 16	11 <sup>+</sup>
211.2+x <sup>n</sup> 3	7 <sup>+</sup>	462.59+x 20		739.48+x <sup>f</sup> 16	12 <sup>+</sup>

Continued on next page (footnotes at end of table)

$^{124}\text{Sn}(^{51}\text{V},5\text{n}\gamma)$  [2010Ag06,1985Ba48](#) (continued) $^{170}\text{Ta}$  Levels (continued)

E(level) <sup>†</sup>	J <sup>π‡</sup>	Comments
810.06+x <sup>n</sup> 18	11 <sup>+</sup>	
816.99+x 21		
818.76+x <sup>h</sup> 17	12 <sup>+</sup>	
855.0+x <sup>@</sup> 5	13 <sup>-</sup>	
954.88+x <sup>g</sup> 18	13 <sup>+</sup>	
954.9+x <sup>a</sup> 5	13 <sup>-</sup>	
962.56+x <sup>o</sup> 18	12 <sup>+</sup>	
1010.67+x <sup>m</sup> 25	12 <sup>+</sup>	a 174.9γ from this level with Iγ=2.4 listed in table I of <a href="#">2010Ag06</a> is non-existent according to e-mail reply of Aug 10, 2010 from one of the authors (D. Hartley) to B. Singh.
1047.50+x <sup>i</sup> 18	13 <sup>+</sup>	
1068.5+x <sup>b</sup> 6	12 <sup>(-)</sup>	
1078.5+x <sup>#</sup> 5	14 <sup>-</sup>	
1102.0+x <sup>&amp;</sup> 5	14 <sup>-</sup>	
1145.43+x <sup>p</sup> 18	13 <sup>+</sup>	
1201.66+x <sup>f</sup> 20	14 <sup>+</sup>	
1223.36+x <sup>n</sup> 21	13 <sup>+</sup>	
1286.5+x 6		
1297.07+x <sup>h</sup> 19	14 <sup>+</sup>	
1320.6+x <sup>@</sup> 5	15 <sup>-</sup>	
1395.3+x <sup>a</sup> 5	15 <sup>-</sup>	
1430.30+x <sup>o</sup> 24	14 <sup>+</sup>	
1450.41+x <sup>g</sup> 22	15 <sup>+</sup>	
1461.9+x <sup>m</sup> 3	14 <sup>+</sup>	
1491.0+x <sup>b</sup> 6	14 <sup>(-)</sup>	
1562.97+x <sup>i</sup> 21	15 <sup>+</sup>	
1587.6+x <sup>#</sup> 5	16 <sup>-</sup>	
1598.1+x <sup>&amp;</sup> 5	16 <sup>-</sup>	
1645.03+x <sup>p</sup> 22	15 <sup>+</sup>	
1696.04+x <sup>n</sup> 23	15 <sup>+</sup>	
1728.6+x <sup>e</sup> 4	13 <sup>-</sup>	
1732.17+x <sup>f</sup> 23	16 <sup>+</sup>	
1846.62+x <sup>h</sup> 22	16 <sup>+</sup>	
1872.8+x <sup>@</sup> 5	17 <sup>-</sup>	
1904.6+x <sup>d</sup> 5	14 <sup>-</sup>	
1909.8+x <sup>a</sup> 5	17 <sup>-</sup>	
1956.8+x <sup>o</sup> 3	16 <sup>+</sup>	
1981.4+x <sup>m</sup> 3	16 <sup>+</sup>	
1987.3+x <sup>b</sup> 6	16 <sup>(-)</sup>	
2005.65+x <sup>g</sup> 24	17 <sup>+</sup>	
2137.30+x <sup>i</sup> 23	17 <sup>+</sup>	
2144.5+x <sup>e</sup> 5	15 <sup>-</sup>	
2170.4+x <sup>#</sup> 5	18 <sup>-</sup>	
2175.1+x <sup>&amp;</sup> 5	18 <sup>-</sup>	
2203.01+x <sup>p</sup> 23	17 <sup>+</sup>	
2220.04+x <sup>n</sup> 23	17 <sup>+</sup>	
2312.56+x <sup>f</sup> 25	18 <sup>+</sup>	
2426.1+x <sup>d</sup> 5	16 <sup>-</sup>	
2444.34+x <sup>h</sup> 24	18 <sup>+</sup>	

Continued on next page (footnotes at end of table)

$^{124}\text{Sn}(\text{}^{51}\text{V}, 5\text{n}\gamma)$  2010Ag06,1985Ba48 (continued) $^{170}\text{Ta}$  Levels (continued)

E(level) <sup>†</sup>	J <sup>π</sup> <sup>‡</sup>	E(level) <sup>†</sup>	J <sup>π</sup> <sup>‡</sup>	E(level) <sup>†</sup>	J <sup>π</sup> <sup>‡</sup>	E(level) <sup>†</sup>	J <sup>π</sup> <sup>‡</sup>
2482.4+x <sup>a</sup> 5	19 <sup>-</sup>	4231.0+x <sup>f</sup> 3	24 <sup>+</sup>	6105.5+x <sup>a</sup> 6	29 <sup>-</sup>	8623.2+x <sup>j</sup> 12	(34 <sup>+</sup> )
2494.8+x <sup>@</sup> 5	19 <sup>-</sup>	4280.8+x <sup>&amp;</sup> 6	24 <sup>-</sup>	6142.9+x <sup>g</sup> 4	29 <sup>+</sup>	8753.2+x <sup>&amp;</sup> 10	34 <sup>-</sup>
2517.0+x <sup>o</sup> 3	18 <sup>+</sup>	4324.6+x <sup>h</sup> 3	24 <sup>+</sup>	6233.1+x <sup>i</sup> 4	29 <sup>+</sup>	8807.6+x <sup>l</sup> 12	(34 <sup>+</sup> )
2551.0+x <sup>b</sup> 6	18 <sup>(-)</sup>	4434.7+x <sup>j</sup> 4	(24 <sup>+</sup> )	6320.4+x <sup>n</sup> 5	29 <sup>+</sup>	8844.4+x <sup>o</sup> 10	34 <sup>+</sup>
2566.3+x <sup>m</sup> 4	18 <sup>+</sup>	4469.7+x <sup>m</sup> 4	24 <sup>+</sup>	6405.6+x <sup>p</sup> 10	29 <sup>+</sup>	8901.7+x <sup>a</sup> 9	35 <sup>-</sup>
2600.85+x <sup>g</sup> 25	19 <sup>+</sup>	4475.9+x <sup>d</sup> 7	22 <sup>-</sup>	6417.5+x <sup>r</sup> 7		8904.2+x <sup>g</sup> 5	35 <sup>+</sup>
2737.1+x <sup>e</sup> 5	17 <sup>-</sup>	4493.6+x <sup>o</sup> 4	24 <sup>+</sup>	6430.6+x <sup>k</sup> 8	(29 <sup>+</sup> )	8976.2+x <sup>@</sup> 9	35 <sup>-</sup>
2747.94+x <sup>i</sup> 23	19 <sup>+</sup>	4495.3+x <sup>@</sup> 6	25 <sup>-</sup>	6467.9+x <sup>#</sup> 6	30 <sup>-</sup>	8996.3+x <sup>i</sup> 8	35 <sup>+</sup>
2782.82+x <sup>n</sup> 24	19 <sup>+</sup>	4510.5+x <sup>b</sup> 7	24 <sup>(-)</sup>	6595.5+x <sup>f</sup> 4	30 <sup>+</sup>	9070.8+x <sup>p</sup> 13	35 <sup>+</sup>
2801.8+x <sup>#</sup> 5	20 <sup>-</sup>	4520.9+x <sup>a</sup> 6	25 <sup>-</sup>	6681.1+x <sup>h</sup> 6	30 <sup>+</sup>	9097.2+x <sup>n</sup> 10	35 <sup>+</sup>
2810.2+x <sup>p</sup> 3	19 <sup>+</sup>	4525.9+x <sup>c</sup> 7	(24 <sup>-</sup> )	6767.3+x <sup>c</sup> 10	(30 <sup>-</sup> )	9258.5+x <sup>r</sup> 11	
2821.7+x <sup>&amp;</sup> 6	20 <sup>-</sup>	4559.7+x <sup>g</sup> 3	25 <sup>+</sup>	6814.0+x <sup>j</sup> 10	(30 <sup>+</sup> )	9370.9+x <sup>#</sup> 11	36 <sup>-</sup>
2924.6+x <sup>f</sup> 3	20 <sup>+</sup>	4564.0+x <sup>q</sup> 7		6814.9+x <sup>&amp;</sup> 7	30 <sup>-</sup>	9459.4+x <sup>f</sup> 5	36 <sup>+</sup>
3068.94+x <sup>h</sup> 24	20 <sup>+</sup>	4578.9+x <sup>t</sup> 5		6863.7+x <sup>s</sup> 9		9513.1+x <sup>c</sup> 13	(36 <sup>-</sup> )
3069.6+x <sup>d</sup> 6	18 <sup>-</sup>	4673.9+x <sup>i</sup> 3	25 <sup>+</sup>	6906.6+x <sup>b</sup> 11	30 <sup>(-)</sup>	9587.7+x <sup>h</sup> 11	36 <sup>+</sup>
3119.5+x <sup>a</sup> 5	21 <sup>-</sup>	4777.5+x <sup>n</sup> 4	25 <sup>+</sup>	6920.0+x <sup>m</sup> 10	30 <sup>+</sup>	9810.9+x <sup>&amp;</sup> 11	36 <sup>-</sup>
3122.9+x <sup>o</sup> 4	20 <sup>+</sup>	4794.2+x <sup>k</sup> 4	(25 <sup>+</sup> )	6921.1+x <sup>l</sup> 10	(30 <sup>+</sup> )	9864.8+x <sup>o</sup> 12	36 <sup>+</sup>
3142.4+x <sup>@</sup> 5	21 <sup>-</sup>	4835.1+x <sup>p</sup> 7	25 <sup>+</sup>	6949.5+x <sup>o</sup> 7	30 <sup>+</sup>	9906.9+x <sup>g</sup> 5	37 <sup>+</sup>
3144.2+x <sup>t</sup> 4		4843.0+x <sup>#</sup> 6	26 <sup>-</sup>	6960.4+x <sup>@</sup> 6	31 <sup>-</sup>	9949.6+x <sup>a</sup> 10	37 <sup>-</sup>
3153.6+x <sup>j</sup> 5	(20 <sup>+</sup> )	4958.1+x <sup>f</sup> 4	26 <sup>+</sup>	6982.1+x <sup>a</sup> 6	31 <sup>-</sup>	10084.3+x <sup>@</sup> 10	37 <sup>-</sup>
3168.8+x <sup>b</sup> 6	20 <sup>(-)</sup>	5040.2+x <sup>h</sup> 3	26 <sup>+</sup>	7030.1+x <sup>g</sup> 4	31 <sup>+</sup>	10164.1+x <sup>n</sup> 11	37 <sup>+</sup>
3181.1+x <sup>m</sup> 4	20 <sup>+</sup>	5081.5+x <sup>&amp;</sup> 6	26 <sup>-</sup>	7089.8+x <sup>i</sup> 4	31 <sup>+</sup>	10430.5+x <sup>#</sup> 12	38 <sup>-</sup>
3219.4+x <sup>g</sup> 3	21 <sup>+</sup>	5188.8+x <sup>j</sup> 7	(26 <sup>+</sup> )	7158.0+x <sup>n</sup> 7	31 <sup>+</sup>	10500.9+x <sup>f</sup> 7	38 <sup>+</sup>
3376.86+x <sup>i</sup> 24	21 <sup>+</sup>	5207.4+x <sup>m</sup> 7	26 <sup>+</sup>	7258.5+x <sup>p</sup> 11	31 <sup>+</sup>	10549.8+x <sup>c</sup> 14	(38 <sup>-</sup> )
3394.99+x <sup>n</sup> 25	21 <sup>+</sup>	5229.1+x <sup>c</sup> 7	(26 <sup>-</sup> )	7311.3+x <sup>r</sup> 8		10882.6+x <sup>&amp;</sup> 12	38 <sup>-</sup>
3416.5+x <sup>e</sup> 6	19 <sup>-</sup>	5243.1+x <sup>@</sup> 6	27 <sup>-</sup>	7331.9+x <sup>k</sup> 10	(31 <sup>+</sup> )	10920.3+x <sup>o</sup> 13	38 <sup>+</sup>
3420.0+x <sup>k</sup> 3	(21 <sup>+</sup> )	5256.9+x <sup>o</sup> 5	26 <sup>+</sup>	7380.4+x <sup>#</sup> 8	32 <sup>-</sup>	10971.3+x <sup>g</sup> 7	39 <sup>+</sup>
3449.5+x <sup>p</sup> 4	21 <sup>+</sup>	5267.1+x <sup>b</sup> 9	26 <sup>(-)</sup>	7499.6+x <sup>f</sup> 4	32 <sup>+</sup>	11047.1+x <sup>a</sup> 11	39 <sup>-</sup>
3457.4+x <sup>#</sup> 6	22 <sup>-</sup>	5287.5+x <sup>a</sup> 6	27 <sup>-</sup>	7602.1+x <sup>h</sup> 8	32 <sup>+</sup>	11235.1+x <sup>@</sup> 11	39 <sup>-</sup>
3526.0+x <sup>&amp;</sup> 6	22 <sup>-</sup>	5314.1+x <sup>q</sup> 9		7622.2+x <sup>c</sup> 11	(32 <sup>-</sup> )	11277.5+x <sup>n</sup> 12	39 <sup>+</sup>
3559.8+x <sup>f</sup> 3	22 <sup>+</sup>	5318.2+x <sup>g</sup> 4	27 <sup>+</sup>	7687.9+x <sup>j</sup> 11	(32 <sup>+</sup> )	11519.7+x <sup>#</sup> 13	40 <sup>-</sup>
3682.83+x <sup>h</sup> 25	22 <sup>+</sup>	5389.4+x <sup>t</sup> 7		7756.3+x <sup>&amp;</sup> 9	32 <sup>-</sup>	11584.3+x <sup>f</sup> 9	40 <sup>+</sup>
3742.9+x <sup>j</sup> 4	(22 <sup>+</sup> )	5422.0+x <sup>i</sup> 3	27 <sup>+</sup>	7757.2+x <sup>s</sup> 10		11648.5+x <sup>c</sup> 15	(40 <sup>-</sup> )
3763.4+x <sup>d</sup> 6	20 <sup>-</sup>	5542.2+x <sup>n</sup> 4	27 <sup>+</sup>	7796.1+x <sup>b</sup> 12	32 <sup>(-)</sup>	12092.2+x <sup>g</sup> 9	41 <sup>+</sup>
3779.1+x <sup>o</sup> 4	22 <sup>+</sup>	5578.2+x <sup>k</sup> 6	(27 <sup>+</sup> )	7858.4+x <sup>l</sup> 11	(32 <sup>+</sup> )	12193.6+x <sup>a</sup> 12	41 <sup>-</sup>
3799.0+x <sup>a</sup> 6	23 <sup>-</sup>	5599.5+x <sup>p</sup> 8	27 <sup>+</sup>	7870.6+x <sup>o</sup> 9	32 <sup>+</sup>	12446.9+x <sup>n</sup> 13	41 <sup>+</sup>
3803.8+x <sup>m</sup> 4	22 <sup>+</sup>	5620.9+x <sup>#</sup> 6	28 <sup>-</sup>	7908.2+x <sup>a</sup> 7	33 <sup>-</sup>	12639.7+x <sup>#</sup> 14	42 <sup>-</sup>
3805.9+x <sup>@</sup> 6	23 <sup>-</sup>	5747.3+x <sup>f</sup> 4	28 <sup>+</sup>	7938.5+x <sup>@</sup> 7	33 <sup>-</sup>	12712.9+x <sup>f</sup> 10	42 <sup>+</sup>
3824.4+x <sup>b</sup> 7	22 <sup>(-)</sup>	5826.2+x <sup>h</sup> 4	28 <sup>+</sup>	7959.3+x <sup>g</sup> 4	33 <sup>+</sup>	13260.9+x <sup>g</sup> 10	43 <sup>+</sup>
3834.2+x <sup>t</sup> 4		5924.6+x <sup>&amp;</sup> 7	28 <sup>-</sup>	7994.7+x <sup>i</sup> 7	33 <sup>+</sup>	13361.3+x <sup>?a</sup> 13	(43 <sup>-</sup> )
3865.0+x <sup>g</sup> 3	23 <sup>+</sup>	5973.0+x <sup>c</sup> 9	(28 <sup>-</sup> )	8091.5+x <sup>n</sup> 9	33 <sup>+</sup>	13793.1+x <sup>#</sup> 15	44 <sup>-</sup>
3879.3+x <sup>q</sup> 4		5984.3+x <sup>j</sup> 8	(28 <sup>+</sup> )	8150.4+x <sup>p</sup> 12	33 <sup>+</sup>	13889.2+x <sup>f</sup> 12	44 <sup>+</sup>
3996.62+x <sup>i</sup> 25	23 <sup>+</sup>	6026.4+x <sup>m</sup> 8	28 <sup>+</sup>	8260.7+x <sup>r</sup> 10		14458.2+x <sup>g</sup> 11	45 <sup>+</sup>
4056.0+x <sup>n</sup> 3	23 <sup>+</sup>	6027.3+x <sup>l</sup> 8	(28 <sup>+</sup> )	8280.2+x <sup>k</sup> 11	(33 <sup>+</sup> )	14977.2+x <sup>#</sup> 16	46 <sup>-</sup>
4072.5+x <sup>k</sup> 3	(23 <sup>+</sup> )	6052.4+x <sup>s</sup> 7		8351.5+x <sup>#</sup> 10	34 <sup>-</sup>	15106.1+x <sup>?f</sup> 13	(46 <sup>+</sup> )
4110.3+x <sup>e</sup> 6	21 <sup>-</sup>	6064.9+x <sup>@</sup> 6	29 <sup>-</sup>	8456.7+x <sup>f</sup> 5	34 <sup>+</sup>	15688.9+x <sup>g</sup> 13	47 <sup>+</sup>
4118.9+x <sup>p</sup> 4	23 <sup>+</sup>	6068.3+x <sup>b</sup> 10	28 <sup>(-)</sup>	8537.5+x <sup>c</sup> 13	(34 <sup>-</sup> )	16196.2+x <sup>?#</sup> 17	(48 <sup>-</sup> )
4129.4+x <sup>#</sup> 6	24 <sup>-</sup>	6080.7+x <sup>o</sup> 5	28 <sup>+</sup>	8583.6+x <sup>h</sup> 10	34 <sup>+</sup>	16955.9+x <sup>?g</sup> 14	(49 <sup>+</sup> )

Continued on next page (footnotes at end of table)

$^{124}\text{Sn}(^{51}\text{V},5n\gamma)$  **2010Ag06,1985Ba48** (continued) $^{170}\text{Ta}$  Levels (continued)

† From least-squares fit to  $E_\gamma$ .

‡ Values proposed by [2010Ag06](#).

# Band(A):  $K^\pi=7^-$   $F_pA$ ,  $\alpha=0$  band. Spherical orbitals= $\pi h_{11/2} \otimes \nu i_{13/2}$ . First band crossing at  $\hbar\omega \approx 0.31$  MeV due to BC. At higher frequencies near  $\hbar\omega \approx 0.52$  MeV; various scenarios are discussed by [2010Ag06](#). Lower portion of band also reported by [1985Ba48](#), but several transitions shown as intraband transitions there have been placed differently by [2010Ag06](#).

@ Band(a):  $K^\pi=7^-$   $E_pA$ ,  $\alpha=1$  band. Spherical orbitals= $\pi h_{11/2} \otimes \nu i_{13/2}$ . Band crossing at  $\hbar\omega \approx 0.31$  MeV due to BC. Lower portion of band also reported by [1985Ba48](#) (but see comment on signature partner band).

& Band(B):  $K^\pi=2^-$   $G_pB$ ,  $\alpha=0$  band. Spherical orbitals= $\pi h_{9/2} \otimes \nu i_{13/2}$ . Band crossing at  $\hbar\omega \approx 0.40$  MeV due to AD. Lower portion of band also reported by [1985Ba48](#).

a Band(b):  $K^\pi=2^-$   $G_pA$ ,  $\alpha=1$  band. Spherical orbitals= $\pi h_{9/2} \otimes \nu i_{13/2}$ . Band crossing at  $\hbar\omega \approx 0.34$  MeV due to BC.

b Band(C):  $K^\pi=3^-$   $H_pA$ ,  $\alpha=0$  band. Spherical orbitals= $\pi h_{9/2} \otimes \nu i_{13/2}$ . Delayed band crossing at  $\hbar\omega \approx 0.34$  MeV due to BC.

c Band(D): Band based on  $(24^-)$ . No configuration proposed.

d Band(E):  $K^\pi=13^-$  4-quasiparticle band,  $\alpha=0$ . Configuration= $\pi([5/2[402], 7/2[404], 9/2[514]] \otimes \nu 5/2[642])$ . Spherical orbitals= $\pi(h_{11/2}, d_{5/2}, g_{7/2}) \otimes \nu i_{13/2}$ . Band crossing at  $\hbar\omega \approx 0.3$  MeV due to BC.

e Band(e):  $K^\pi=13^-$  4-quasiparticle band,  $\alpha=1$ . Configuration= $\pi([5/2[402], 7/2[404], 9/2[514]] \otimes \nu 5/2[642])$ . Spherical orbitals= $\pi(h_{11/2}, d_{5/2}, g_{7/2}) \otimes \nu i_{13/2}$ . Band crossing at  $\hbar\omega \approx 0.3$  MeV due to BC.

f Band(F):  $K^\pi=5^+$   $B_pA$ ,  $\alpha=0$  band. Spherical orbitals= $\pi d_{5/2} \otimes \nu i_{13/2}$ . Band crossing at  $\hbar\omega \approx 0.30$  MeV due to BC. Second band crossing at  $\hbar\omega \approx 0.50$  MeV due to  $E_pF_p$ .

g Band(f):  $K^\pi=5^+$   $A_pA$ ,  $\alpha=1$  band. Spherical orbitals= $\pi d_{5/2} \otimes \nu i_{13/2}$ . Band crossing at  $\hbar\omega \approx 0.30$  MeV due to BC. Second band crossing at  $\hbar\omega \approx 0.46$  MeV due possibly to  $E_pF_p$ .

h Band(G):  $D_pA$ ,  $\alpha=0$ ,  $K^\pi=6^+$  band. Spherical orbitals= $\pi g_{7/2} \otimes \nu i_{13/2}$ . Strongly coupled. Band crossing at  $\hbar\omega \approx 0.31$  MeV due to BC. Second band crossing at  $\hbar\omega \approx 0.5$  MeV due possibly to  $E_pF_p$ .

i Band(g):  $K^\pi=6^+$   $C_pA$ ,  $\alpha=1$  band. Spherical orbitals= $\pi g_{7/2} \otimes \nu i_{13/2}$ . Band crossing at  $\hbar\omega \approx 0.31$  MeV due to BC. Second band crossing at  $\hbar\omega \approx 0.42$  MeV;  $E_pF_p$  is not likely.

j Band(H): Tentative  $F_pEAB, \alpha=0$  band.

k Band(h): Tentative  $E_pEAB, \alpha=1$  band.

l Band(I): Band based on  $(28^+)$ . Side band of band #8 in fig. 2 from [2010Ag06](#).

m Band(J):  $K^\pi=3^+$   $G_pF$ ,  $\alpha=0$  band. Spherical orbitals= $\pi h_{9/2} \otimes \nu h_{9/2}$ . Band crossing at  $\hbar\omega \approx 0.3$  MeV due to AB.

n Band(j):  $K^\pi=3^+$   $G_pE$ ,  $\alpha=1$  band. Spherical orbitals= $\pi h_{9/2} \otimes \nu h_{9/2}$ . Band crossing at  $\hbar\omega \approx 0.3$  MeV due to AB. Second band crossing at  $\hbar\omega \approx 0.4$  MeV.

o Band(K):  $K^\pi=2^+$   $J_pA$ ,  $\alpha=0$  band. Spherical orbitals= $\pi d_{3/2} \otimes \nu i_{13/2}$ . Band crossing at  $\hbar\omega \approx 0.3$  MeV due to BC. Second band crossing at  $\hbar\omega \approx 0.4$  MeV.

p Band(k):  $K^\pi=2^+$   $I_pA$ ,  $\alpha=1$  band. Spherical orbitals= $\pi d_{3/2} \otimes \nu i_{13/2}$ . Band crossing at  $\hbar\omega \approx 0.3$  MeV due to BC. Second band crossing at  $\hbar\omega \approx 0.4$  MeV.

q Band(L): Side band 1. Feeds  $K^\pi=3^+$ ,  $G_pF$ ,  $\alpha=0$  band.

r Band(M): Side band 2. Feeds  $K^\pi=3^+$ ,  $G_pE$ ,  $\alpha=1$  band.

s Band(N): Side band 3. Feeds  $K^\pi=2^+$   $J_pA$ ,  $\alpha=0$  band.

t Band(O): Side band 4. Feeds  $K^\pi=2^+$   $I_pA$ ,  $\alpha=1$  band.

 $\gamma(^{170}\text{Ta})$ 

$E_\gamma$ †	$I_\gamma$ ‡	$E_f(\text{level})$	$J_f^\pi$	$E_f$	$J_f^\pi$	Mult. #	Comments
50.8 2		182.6+x	8 <sup>-</sup>	131.8+x	7 <sup>-</sup>		
71.5 2	2.40 24	394.0+x	10 <sup>-</sup>	322.4+x	9 <sup>-</sup>		
83.0 2	5.9 3	395.02+x	9 <sup>+</sup>	312.04+x	8 <sup>+</sup>		
85.7 2	2.4 3	131.8+x	7 <sup>-</sup>	46.1+x	6 <sup>-</sup>		
88.9 2	5.9 3	145.6+x	8 <sup>-</sup>	56.7+x	7 <sup>-</sup>		
89.3 2	5.9 3	89.23+x	8 <sup>+</sup>	0.0+x	7 <sup>+</sup>	D	Rang=0.69 10.
97.4 2	5.9 3	365.7+x	10 <sup>-</sup>	268.3+x	9 <sup>-</sup>	D	Rang=0.52 6.
103.0 2	4.7 5	698.7+x	12 <sup>-</sup>	595.6+x	11 <sup>-</sup>		

Continued on next page (footnotes at end of table)

$^{124}\text{Sn}(^{51}\text{V},5\text{n}\gamma)$  **2010Ag06,1985Ba48** (continued)

$\gamma(^{170}\text{Ta})$  (continued)

$E_\gamma$ †	$I_\gamma$ ‡	$E_i(\text{level})$	$J_i^\pi$	$E_f$	$J_f^\pi$	Mult. #	Comments
110.4 2	2.9 3	291.31+x	9 <sup>+</sup>	180.84+x	8 <sup>+</sup>		
121.5 2	3.4 3	210.83+x	9 <sup>+</sup>	89.23+x	8 <sup>+</sup>	D	$R_{\text{ang}}=0.61$ 3.
122.7 2	5.9 3	268.3+x	9 <sup>-</sup>	145.6+x	8 <sup>-</sup>		
123.0 2	1.20 12	462.59+x		339.66+x			
130.9 2	3.8 4	496.6+x	11 <sup>-</sup>	365.7+x	10 <sup>-</sup>	D	Mult.: $R_{\text{ang}}=0.68$ 3. $\Delta J=1$ based on $\gamma(\theta)$ (1985Ba48).
133.4 5	0.60 6	473.17+x	9 <sup>+</sup>	339.66+x			
136.5 2	5.9 3	182.6+x	8 <sup>-</sup>	46.1+x	6 <sup>-</sup>		$R_{\text{ang}}=0.63$ 11; very low for the Q transition implied by the level scheme.
139.1 2	1.80 18	723.74+x	11 <sup>+</sup>	584.62+x	10 <sup>+</sup>		
139.8 2	5.9 3	322.4+x	9 <sup>-</sup>	182.6+x	8 <sup>-</sup>	D	$R_{\text{ang}}=0.54$ 2.
145.4 2	11.8 6	436.67+x	10 <sup>+</sup>	291.31+x	9 <sup>+</sup>		$R_{\text{ang}}=0.94$ 9.
147.1 2	4.7 5	1102.0+x	14 <sup>-</sup>	954.9+x	13 <sup>-</sup>		
152.0 2	13.9 7	362.59+x	10 <sup>+</sup>	210.83+x	9 <sup>+</sup>	D+Q	$R_{\text{ang}}=0.70$ 2.
156.3 2	1.50 15	855.0+x	13 <sup>-</sup>	698.7+x	12 <sup>-</sup>		
164.1 2	5.9 3	626.59+x		462.59+x			
167.0 2	18.8 9	663.5+x	12 <sup>-</sup>	496.6+x	11 <sup>-</sup>	D	$R_{\text{ang}}=0.65$ 2.
170.8 2	5.9 3	170.86+x	7 <sup>+</sup>	0.0+x	7 <sup>+</sup>		$R_{\text{ang}}=0.80$ 10.
172.6 2	2.9 3	810.06+x	11 <sup>+</sup>	637.55+x			
173.8 2	14.7 7	536.37+x	11 <sup>+</sup>	362.59+x	10 <sup>+</sup>	D+Q	$R_{\text{ang}}=0.69$ 2.
174.9 2	1.20 12	637.55+x		462.59+x			
176.0 2	5.9 3	1904.6+x	14 <sup>-</sup>	1728.6+x	13 <sup>-</sup>		
177.9 2	8.8 4	614.51+x	11 <sup>+</sup>	436.67+x	10 <sup>+</sup>	D+Q	$R_{\text{ang}}=0.79$ 6.
178.6 2	5.9 3	211.2+x	7 <sup>+</sup>	32.6+x	5 <sup>+</sup>		
179.3 2	5.9 3	816.99+x		637.55+x			
182.8 2	1.8 2	1145.43+x	13 <sup>+</sup>	962.56+x	12 <sup>+</sup>		
183.8 2	2.9 3	810.06+x	11 <sup>+</sup>	626.21+x	10 <sup>+</sup>		
190.5 2	5.9 3	816.99+x		626.59+x			
190.6 2	11.8 6	322.4+x	9 <sup>-</sup>	131.8+x	7 <sup>-</sup>		$R_{\text{ang}}=0.88$ 5.
191.4 2	40.6 20	855.0+x	13 <sup>-</sup>	663.5+x	12 <sup>-</sup>	D	$R_{\text{ang}}=0.67$ 2.
201.7 2	29.4 15	595.6+x	11 <sup>-</sup>	394.0+x	10 <sup>-</sup>	D	$R_{\text{ang}}=0.50$ 2.
202.1 2	1.8 2	291.31+x	9 <sup>+</sup>	89.23+x	8 <sup>+</sup>		
203.1 2	17.6 9	739.48+x	12 <sup>+</sup>	536.37+x	11 <sup>+</sup>	D+Q	$R_{\text{ang}}=0.70$ 2.
204.3 2	11.8 6	818.76+x	12 <sup>+</sup>	614.51+x	11 <sup>+</sup>		$R_{\text{ang}}=1.04$ 7; $\Delta J=1$ implied by level scheme.
210.9 2	8.8 5	210.83+x	9 <sup>+</sup>	0.0+x	7 <sup>+</sup>		
211.3 2	5.9 3	394.0+x	10 <sup>-</sup>	182.6+x	8 <sup>-</sup>	Q	$R_{\text{ang}}=1.02$ 8.
211.6 2	5.9 3	268.3+x	9 <sup>-</sup>	56.7+x	7 <sup>-</sup>		$R_{\text{ang}}=0.67$ 2; suggests D transition, but $\Delta J=2$ from level scheme.
215.4 2	23.5 12	954.88+x	13 <sup>+</sup>	739.48+x	12 <sup>+</sup>	D	$R_{\text{ang}}=0.64$ 3.
217.4 2	8.8 4	328.2+x	8 <sup>+</sup>	110.8+x	6 <sup>+</sup>		
218.6 2	1.20 12	1320.6+x	15 <sup>-</sup>	1102.0+x	14 <sup>-</sup>		
222.9 2	2.4 3	312.04+x	8 <sup>+</sup>	89.23+x	8 <sup>+</sup>	D(+Q)	$R_{\text{ang}}=0.75$ 7.
222.9 2	3.5 4	962.56+x	12 <sup>+</sup>	739.48+x	12 <sup>+</sup>		
223.6 2	32.4 16	1078.5+x	14 <sup>-</sup>	855.0+x	13 <sup>-</sup>	D(+Q)	$R_{\text{ang}}=0.71$ 2.
224.1 2	17.6 9	395.02+x	9 <sup>+</sup>	170.86+x	7 <sup>+</sup>		$R_{\text{ang}}=0.78$ 3; low for Q transition implied by placement.
225.7 2	5.9 3	436.67+x	10 <sup>+</sup>	210.83+x	9 <sup>+</sup>	D+Q	$R_{\text{ang}}=0.64$ 7.
228.1 2	11.8 6	434.8+x	8 <sup>(-)</sup>	206.7+x	6 <sup>(-)</sup>		
228.4 2	5.9 3	496.6+x	11 <sup>-</sup>	268.3+x	9 <sup>-</sup>		
228.7 2	7.6 4	1047.50+x	13 <sup>+</sup>	818.76+x	12 <sup>+</sup>		
234.8 2	5.9 3	323.95+x		89.23+x	8 <sup>+</sup>		
239.9 2	14.7 7	2144.5+x	15 <sup>-</sup>	1904.6+x	14 <sup>-</sup>		
240.1 5	0.30 3	4520.9+x	25 <sup>-</sup>	4280.8+x	24 <sup>-</sup>		
242.3 2	35.3 18	1320.6+x	15 <sup>-</sup>	1078.5+x	14 <sup>-</sup>	D	$R_{\text{ang}}=0.68$ 3.
246.8 2	20.6 10	1201.66+x	14 <sup>+</sup>	954.88+x	13 <sup>+</sup>	D	$R_{\text{ang}}=0.66$ 2.
247.0 2	3.1 3	1102.0+x	14 <sup>-</sup>	855.0+x	13 <sup>-</sup>		
248.7 2	18.8 9	1450.41+x	15 <sup>+</sup>	1201.66+x	14 <sup>+</sup>		$R_{\text{ang}}=0.82$ 16.
249.6 2	8.8 4	1297.07+x	14 <sup>+</sup>	1047.50+x	13 <sup>+</sup>		

Continued on next page (footnotes at end of table)

<sup>124</sup>Sn(<sup>51</sup>V,5n $\gamma$ ) **2010Ag06,1985Ba48** (continued)

$\gamma(^{170}\text{Ta})$  (continued)

$E_\gamma$ †	$I_\gamma$ ‡	$E_i(\text{level})$	$J_i^\pi$	$E_f$	$J_f^\pi$	Mult. #	Comments
250.5 2	5.9 3	339.66+x		89.23+x	8 <sup>+</sup>		
252.0 2	4.7 5	614.51+x	11 <sup>+</sup>	362.59+x	10 <sup>+</sup>		
255.9 2	35.3 18	436.67+x	10 <sup>+</sup>	180.84+x	8 <sup>+</sup>		Rang=0.72 6; low for Q transition implied by placement.
256.2 2	24.7 12	954.9+x	13 <sup>-</sup>	698.7+x	12 <sup>-</sup>	D	Rang=0.45 2.
260.7 2	5.9 3	584.62+x	10 <sup>+</sup>	323.95+x		D+Q	Rang=0.72 4.
262.0 2	5.9 3	473.17+x	9 <sup>+</sup>	211.2+x	7 <sup>+</sup>		Rang=0.76 6; low for Q transition implied by placement.
263.6 2	5.9 3	626.21+x	10 <sup>+</sup>	362.59+x	10 <sup>+</sup>		
265.9 2	5.9 3	1562.97+x	15 <sup>+</sup>	1297.07+x	14 <sup>+</sup>		
266.9 2	26.5 13	1587.6+x	16 <sup>-</sup>	1320.6+x	15 <sup>-</sup>	D	Rang=0.68 3.
272.6 2	23.5 12	584.62+x	10 <sup>+</sup>	312.04+x	8 <sup>+</sup>	(Q)	Rang=0.84 2.
273.0 2	1.40 14	3799.0+x	23 <sup>-</sup>	3526.0+x	22 <sup>-</sup>		
273.2 2	24.1 12	595.6+x	11 <sup>-</sup>	322.4+x	9 <sup>-</sup>		Rang=0.84 2; low for Q transition implied by placement.
273.3 2	11.8 6	362.59+x	10 <sup>+</sup>	89.23+x	8 <sup>+</sup>	Q	Rang=0.90 4.
273.4 2	17.6 9	2005.65+x	17 <sup>+</sup>	1732.17+x	16 <sup>+</sup>	D+Q	Rang=0.76 3.
273.7 2	1.20 12	810.06+x	11 <sup>+</sup>	536.37+x	11 <sup>+</sup>		
274.7 2	1.40 14	1872.8+x	17 <sup>-</sup>	1598.1+x	16 <sup>-</sup>		
277.5 2	2.9 3	1598.1+x	16 <sup>-</sup>	1320.6+x	15 <sup>-</sup>		
281.6 2	10.6 5	2426.1+x	16 <sup>-</sup>	2144.5+x	15 <sup>-</sup>		
281.7 2	17.6 9	1732.17+x	16 <sup>+</sup>	1450.41+x	15 <sup>+</sup>	D+Q	Rang=0.74 5.
282.3 2	5.3 3	818.76+x	12 <sup>+</sup>	536.37+x	11 <sup>+</sup>	D	Rang=0.67 6.
283.8 2	2.40 24	1846.62+x	16 <sup>+</sup>	1562.97+x	15 <sup>+</sup>		
284.4 2	11.8 6	719.2+x	10 <sup>(-)</sup>	434.8+x	8 <sup>(-)</sup>	Q	Rang=0.93 4.
285.1 2	17.6 9	1872.8+x	17 <sup>-</sup>	1587.6+x	16 <sup>-</sup>	D	Rang=0.66 5.
288.2 2	11.8 6	2600.85+x	19 <sup>+</sup>	2312.56+x	18 <sup>+</sup>	D+Q	Rang=0.72 4.
290.7 2	2.40 24	2137.30+x	17 <sup>+</sup>	1846.62+x	16 <sup>+</sup>		
293.3 2	17.6 9	1395.3+x	15 <sup>-</sup>	1102.0+x	14 <sup>-</sup>		
294.8 2	8.2 4	3219.4+x	21 <sup>+</sup>	2924.6+x	20 <sup>+</sup>	D+Q	Rang=0.72 3.
297.6 2	14.7 7	2170.4+x	18 <sup>-</sup>	1872.8+x	17 <sup>-</sup>	D	Mult.: $\Delta J=1$ based on $\gamma(\theta)$ (1985Ba48).
297.7 2	5.9 3	663.5+x	12 <sup>-</sup>	365.7+x	10 <sup>-</sup>	Q	Mult.: $\Delta J=2$ based on $\gamma(\theta)$ (1985Ba48).
297.8 2	2.40 24	3119.5+x	21 <sup>-</sup>	2821.7+x	20 <sup>-</sup>		
297.9 2	2.9 3	637.55+x		339.66+x			
298.0 2	14.1 7	626.21+x	10 <sup>+</sup>	328.2+x	8 <sup>+</sup>		Rang=0.80 3; low for Q transition implied by placement.
303.0 2	1.80 18	434.8+x	8 <sup>(-)</sup>	131.8+x	7 <sup>-</sup>		
303.6 2	1.10 11	2747.94+x	19 <sup>+</sup>	2444.34+x	18 <sup>+</sup>		
304.7 2	100.0 10	698.7+x	12 <sup>-</sup>	394.0+x	10 <sup>-</sup>	Q	Mult.: Rang=0.86 2. $\Delta J=2$ based on $\gamma(\theta)$ (1985Ba48).
305.0 2	4.1 4	3865.0+x	23 <sup>+</sup>	3559.8+x	22 <sup>+</sup>	D	Rang=0.60 5.
305.8 2	8.8 4	395.02+x	9 <sup>+</sup>	89.23+x	8 <sup>+</sup>	D+Q	Rang=0.76 6.
306.0 2	2.10 21	3682.83+x	22 <sup>+</sup>	3376.86+x	21 <sup>+</sup>		
306.8 2	11.5 6	2312.56+x	18 <sup>+</sup>	2005.65+x	17 <sup>+</sup>	D	Rang=0.66 3.
307.0 2	5.9 3	2801.8+x	20 <sup>-</sup>	2494.8+x	19 <sup>-</sup>		
307.2 5	0.3 1	2444.34+x	18 <sup>+</sup>	2137.30+x	17 <sup>+</sup>		
307.3 2	5.9 3	2482.4+x	19 <sup>-</sup>	2175.1+x	18 <sup>-</sup>		
307.9 2	1.20 12	3376.86+x	21 <sup>+</sup>	3068.94+x	20 <sup>+</sup>		
308.2 2	1.50 15	1047.50+x	13 <sup>+</sup>	739.48+x	12 <sup>+</sup>		
311.0 2	8.8 4	2737.1+x	17 <sup>-</sup>	2426.1+x	16 <sup>-</sup>		
311.7 2	13.5 7	1909.8+x	17 <sup>-</sup>	1598.1+x	16 <sup>-</sup>		
312.0 2	1.8 2	312.04+x	8 <sup>+</sup>	0.0+x	7 <sup>+</sup>	D	Rang=0.58 5.
312.1 2	5.9 3	2482.4+x	19 <sup>-</sup>	2170.4+x	18 <sup>-</sup>		
313.9 2	1.20 12	3996.62+x	23 <sup>+</sup>	3682.83+x	22 <sup>+</sup>		
315.0 2	6.9 3	3457.4+x	22 <sup>-</sup>	3142.4+x	21 <sup>-</sup>	D	Rang=0.60 4.
316.9 5	0.2 1	1395.3+x	15 <sup>-</sup>	1078.5+x	14 <sup>-</sup>		
317.8 5	0.2 1	3119.5+x	21 <sup>-</sup>	2801.8+x	20 <sup>-</sup>		
319.3 2	5.9 3	2801.8+x	20 <sup>-</sup>	2482.4+x	19 <sup>-</sup>	D	Rang=0.58 3.
321.0 2	1.20 12	3068.94+x	20 <sup>+</sup>	2747.94+x	19 <sup>+</sup>		
322.3 2	3.1 3	1909.8+x	17 <sup>-</sup>	1587.6+x	16 <sup>-</sup>		

Continued on next page (footnotes at end of table)

<sup>124</sup>Sn(<sup>51</sup>V,5n $\gamma$ ) **2010Ag06,1985Ba48** (continued)

$\gamma(^{170}\text{Ta})$  (continued)

$E_\gamma$ †	$I_\gamma$ ‡	$E_i(\text{level})$	$J_i^\pi$	$E_f$	$J_f^\pi$	Mult. #	Comments
323.1 2	29.4 15	614.51+x	11 <sup>+</sup>	291.31+x	9 <sup>+</sup>	Q	Rang=1.03 6.
323.6 2	4.7 5	2924.6+x	20 <sup>+</sup>	2600.85+x	19 <sup>+</sup>		
323.6 2	3.8 4	4129.4+x	24 <sup>-</sup>	3805.9+x	23 <sup>-</sup>	D+Q	Rang=0.73 6.
323.9 2	5.9 3	323.95+x		0.0+x	7 <sup>+</sup>		
324.2 2	5.9 3	2494.8+x	19 <sup>-</sup>	2170.4+x	18 <sup>-</sup>		$E_\gamma$ : possibly the $\Delta J=1$ 324.0 $\gamma$ or 323 $\gamma$ reported by 1985Ba48.
325.4 2	14.7 7	536.37+x	11 <sup>+</sup>	210.83+x	9 <sup>+</sup>		
328.0 2	1.20 12	4324.6+x	24 <sup>+</sup>	3996.62+x	23 <sup>+</sup>		
328.7 2	20.6 10	723.74+x	11 <sup>+</sup>	395.02+x	9 <sup>+</sup>		Rang=0.86 3; low for Q transition implied by placement.
328.7 2	3.5 4	4559.7+x	25 <sup>+</sup>	4231.0+x	24 <sup>+</sup>		
332.5 2	7.1 4	3069.6+x	18 <sup>-</sup>	2737.1+x	17 <sup>-</sup>		
337.0 2	8.8 4	810.06+x	11 <sup>+</sup>	473.17+x	9 <sup>+</sup>		Rang=0.81 4; low for Q transition implied by placement.
340.4 2	6.5 3	3559.8+x	22 <sup>+</sup>	3219.4+x	21 <sup>+</sup>	D	Rang=0.61 3.
340.5 2	7.9 4	3142.4+x	21 <sup>-</sup>	2801.8+x	20 <sup>-</sup>	D	Rang=0.64 2.
342.2 2	5.3 3	1297.07+x	14 <sup>+</sup>	954.88+x	13 <sup>+</sup>		
343.7 2	5.9 3	816.99+x		473.17+x	9 <sup>+</sup>		
346.9 2	3.5 4	3416.5+x	19 <sup>-</sup>	3069.6+x	18 <sup>-</sup>		
346.9 2	2.40 24	3763.4+x	20 <sup>-</sup>	3416.5+x	19 <sup>-</sup>		
346.9 2	1.80 18	4110.3+x	21 <sup>-</sup>	3763.4+x	20 <sup>-</sup>		
347.3 2	11.8 6	810.06+x	11 <sup>+</sup>	462.59+x			Rang=0.83 4.
347.7 2	3.0 3	4843.0+x	26 <sup>-</sup>	4495.3+x	25 <sup>-</sup>		
348.5 2	5.9 3	3805.9+x	23 <sup>-</sup>	3457.4+x	22 <sup>-</sup>	D	Rang=0.63 3.
349.2 2	8.8 4	1068.5+x	12 <sup>(-)</sup>	719.2+x	10 <sup>(-)</sup>	(Q)	Rang=0.88 6.
349.3 2	1.20 12	4673.9+x	25 <sup>+</sup>	4324.6+x	24 <sup>+</sup>		
354.6 2	5.9 3	816.99+x		462.59+x			
358.3 2	20.6 10	855.0+x	13 <sup>-</sup>	496.6+x	11 <sup>-</sup>	Q	Rang=0.96 6.
359.2 2	32.9 16	954.9+x	13 <sup>-</sup>	595.6+x	11 <sup>-</sup>	Q	Rang=0.92 3.
360.0 2	2.40 24	5318.2+x	27 <sup>+</sup>	4958.1+x	26 <sup>+</sup>		
361.2 2	2.9 3	723.74+x	11 <sup>+</sup>	362.59+x	10 <sup>+</sup>		
365.6 2	1.80 18	4475.9+x	22 <sup>-</sup>	4110.3+x	21 <sup>-</sup>		
366.1 2	5.0 5	4231.0+x	24 <sup>+</sup>	3865.0+x	23 <sup>+</sup>	D	Rang=0.68 4.
366.1 2	5.9 3	4495.3+x	25 <sup>-</sup>	4129.4+x	24 <sup>-</sup>	D	Rang=0.59 4.
366.2 2	1.20 12	5040.2+x	26 <sup>+</sup>	4673.9+x	25 <sup>+</sup>		
376.9 2	17.6 9	739.48+x	12 <sup>+</sup>	362.59+x	10 <sup>+</sup>	Q	Rang=0.97 3.
377.7 2	1.80 18	5620.9+x	28 <sup>-</sup>	5243.1+x	27 <sup>-</sup>		
378.0 2	20.6 10	962.56+x	12 <sup>+</sup>	584.62+x	10 <sup>+</sup>	Q	Rang=0.96 3.
381.8 2	1.20 12	5422.0+x	27 <sup>+</sup>	5040.2+x	26 <sup>+</sup>		
382.0 2	30.0 15	818.76+x	12 <sup>+</sup>	436.67+x	10 <sup>+</sup>		Rang=0.87 3.
384.5 2	12.9 6	1010.67+x	12 <sup>+</sup>	626.21+x	10 <sup>+</sup>		Rang=0.89 3.
395.4 5	0.90 9	6142.9+x	29 <sup>+</sup>	5747.3+x	28 <sup>+</sup>		
396.8 2	4.1 4	719.2+x	10 <sup>(-)</sup>	322.4+x	9 <sup>-</sup>	D	Rang=0.51 4.
398.4 2	2.9 3	4958.1+x	26 <sup>+</sup>	4559.7+x	25 <sup>+</sup>		
400.0 2	2.10 21	5243.1+x	27 <sup>-</sup>	4843.0+x	26 <sup>-</sup>		
403.3 2	79 4	1102.0+x	14 <sup>-</sup>	698.7+x	12 <sup>-</sup>	Q	Rang=0.94 4.
403.7 2	5.9 3	614.51+x	11 <sup>+</sup>	210.83+x	9 <sup>+</sup>	Q	Rang=1.04 10.
404.3 5	0.60 6	5826.2+x	28 <sup>+</sup>	5422.0+x	27 <sup>+</sup>		
406.0 2	1.8 2	1145.43+x	13 <sup>+</sup>	739.48+x	12 <sup>+</sup>		
406.4 2	5.9 3	1223.36+x	13 <sup>+</sup>	816.99+x			
413.3 2	21.2 11	1223.36+x	13 <sup>+</sup>	810.06+x	11 <sup>+</sup>	Q	Rang=0.93 4.
415.0 2	17.6 9	1078.5+x	14 <sup>-</sup>	663.5+x	12 <sup>-</sup>	Q	Rang=0.98 4.
415.9 5	0.60 6	2144.5+x	15 <sup>-</sup>	1728.6+x	13 <sup>-</sup>		
418.5 2	38.2 19	954.88+x	13 <sup>+</sup>	536.37+x	11 <sup>+</sup>	Q	Rang=1.00 4.
421.7 2	17.6 9	1145.43+x	13 <sup>+</sup>	723.74+x	11 <sup>+</sup>	Q	Rang=0.98 3.
422.6 2	11.8 6	1491.0+x	14 <sup>(-)</sup>	1068.5+x	12 <sup>(-)</sup>	Q	Rang=0.98 4.
428.9 2	1.80 18	5747.3+x	28 <sup>+</sup>	5318.2+x	27 <sup>+</sup>		

Continued on next page (footnotes at end of table)

<sup>124</sup>Sn(<sup>51</sup>V,5n $\gamma$ ) **2010Ag06,1985Ba48** (continued)

$\gamma(^{170}\text{Ta})$  (continued)

$E_\gamma$ †	$I_\gamma$ ‡	$E_i(\text{level})$	$J_i^\pi$	$E_f$	$J_f^\pi$	Mult. #	Comments
433.0 2	26.5 13	1047.50+x	13 <sup>+</sup>	614.51+x	11 <sup>+</sup>	Q	$R_{\text{ang}}=0.95$ 4.
434.6 2	1.0 1	7030.1+x	31 <sup>+</sup>	6595.5+x	30 <sup>+</sup>		
440.4 2	32.4 16	1395.3+x	15 <sup>-</sup>	954.9+x	13 <sup>-</sup>	Q	$R_{\text{ang}}=0.93$ 9.
442.1 5	0.60 6	1728.6+x	13 <sup>-</sup>	1286.5+x			
444.0 2	1.80 18	6064.9+x	29 <sup>-</sup>	5620.9+x	28 <sup>-</sup>		
451.3 2	12.4 6	1461.9+x	14 <sup>+</sup>	1010.67+x	12 <sup>+</sup>	Q	$R_{\text{ang}}=0.95$ 2.
452.8 5	0.90 9	6595.5+x	30 <sup>+</sup>	6142.9+x	29 <sup>+</sup>		
462.1 2	38.2 19	1201.66+x	14 <sup>+</sup>	739.48+x	12 <sup>+</sup>	Q	$R_{\text{ang}}=0.97$ 4.
465.6 2	29.4 15	1320.6+x	15 <sup>-</sup>	855.0+x	13 <sup>-</sup>	Q	$R_{\text{ang}}=0.92$ 5.
467.7 2	17.6 9	1430.30+x	14 <sup>+</sup>	962.56+x	12 <sup>+</sup>	Q	$R_{\text{ang}}=0.96$ 4.
469.8 5	0.40 4	7499.6+x	32 <sup>+</sup>	7030.1+x	31 <sup>+</sup>		
472.7 2	17.6 9	1696.04+x	15 <sup>+</sup>	1223.36+x	13 <sup>+</sup>	Q	$R_{\text{ang}}=0.92$ 3.
472.9 2	3.5 4	1068.5+x	12 <sup>(-)</sup>	595.6+x	11 <sup>-</sup>	D	$R_{\text{ang}}=0.50$ 4.
478.2 2	29.4 15	1297.07+x	14 <sup>+</sup>	818.76+x	12 <sup>+</sup>	Q	$R_{\text{ang}}=0.92$ 4.
494.8 2	5.9 3	1956.8+x	16 <sup>+</sup>	1461.9+x	14 <sup>+</sup>		$R_{\text{ang}}=0.81$ 7.
495.5 2	35.3 18	1450.41+x	15 <sup>+</sup>	954.88+x	13 <sup>+</sup>	Q	$R_{\text{ang}}=0.96$ 2.
496.1 2	58.8 29	1598.1+x	16 <sup>-</sup>	1102.0+x	14 <sup>-</sup>	Q	$R_{\text{ang}}=1.00$ 5.
496.4 2	8.8 4	1987.3+x	16 <sup>(-)</sup>	1491.0+x	14 <sup>(-)</sup>	Q	$R_{\text{ang}}=1.08$ 5.
499.6 2	14.7 7	1645.03+x	15 <sup>+</sup>	1145.43+x	13 <sup>+</sup>	Q	$R_{\text{ang}}=0.99$ 3.
507.0 2	1.40 14	2203.01+x	17 <sup>+</sup>	1696.04+x	15 <sup>+</sup>		
509.1 2	26.5 13	1587.6+x	16 <sup>-</sup>	1078.5+x	14 <sup>-</sup>	Q	$R_{\text{ang}}=0.88$ 3. $\Delta J=2$ from $\gamma(\theta)$ (1985Ba48).
514.5 2	29.4 15	1909.8+x	17 <sup>-</sup>	1395.3+x	15 <sup>-</sup>		$R_{\text{ang}}=0.84$ 2.
515.6 2	23.5 12	1562.97+x	15 <sup>+</sup>	1047.50+x	13 <sup>+</sup>	Q	$R_{\text{ang}}=1.11$ 4.
519.5 2	11.8 6	1981.4+x	16 <sup>+</sup>	1461.9+x	14 <sup>+</sup>	Q	$\text{ang}=1.08$ 6.
521.5 5	0.60 6	2426.1+x	16 <sup>-</sup>	1904.6+x	14 <sup>-</sup>		
524.0 2	13.5 7	2220.04+x	17 <sup>+</sup>	1696.04+x	15 <sup>+</sup>	Q	$R_{\text{ang}}=1.12$ 4.
526.5 2	14.7 7	1956.8+x	16 <sup>+</sup>	1430.30+x	14 <sup>+</sup>	Q	$R_{\text{ang}}=0.98$ 3.
529.3 5	0.60 6	3682.83+x	22 <sup>+</sup>	3153.6+x? (20 <sup>+</sup> )			
530.5 2	35.3 18	1732.17+x	16 <sup>+</sup>	1201.66+x	14 <sup>+</sup>	Q	$R_{\text{ang}}=1.04$ 3.
535.6 2	1.50 15	2517.0+x	18 <sup>+</sup>	1981.4+x	16 <sup>+</sup>		
536.0 2	2.40 24	1491.0+x	14 <sup>(-)</sup>	954.9+x	13 <sup>-</sup>	D+Q	$R_{\text{ang}}=0.61$ 7.
549.5 2	21.2 11	1846.62+x	16 <sup>+</sup>	1297.07+x	14 <sup>+</sup>	Q	$R_{\text{ang}}=0.96$ 4.
551.0 2	6.5 3	1981.4+x	16 <sup>+</sup>	1430.30+x	14 <sup>+</sup>	Q	$R_{\text{ang}}=1.06$ 5.
552.2 2	26.5 13	1872.8+x	17 <sup>-</sup>	1320.6+x	15 <sup>-</sup>	Q	$R_{\text{ang}}=1.12$ 7.
555.2 2	32.4 16	2005.65+x	17 <sup>+</sup>	1450.41+x	15 <sup>+</sup>	Q	$R_{\text{ang}}=0.93$ 3.
558.0 2	11.8 6	2203.01+x	17 <sup>+</sup>	1645.03+x	15 <sup>+</sup>	Q	$R_{\text{ang}}=1.00$ 3.
560.3 2	11.8 6	2517.0+x	18 <sup>+</sup>	1956.8+x	16 <sup>+</sup>	Q	$R_{\text{ang}}=1.14$ 5.
562.8 2	9.4 5	2782.82+x	19 <sup>+</sup>	2220.04+x	17 <sup>+</sup>	Q	$R_{\text{ang}}=0.99$ 4.
563.7 2	7.1 4	2551.0+x	18 <sup>(-)</sup>	1987.3+x	16 <sup>(-)</sup>	Q	$R_{\text{ang}}=0.91$ 5.
572.6 2	15.3 8	2482.4+x	19 <sup>-</sup>	1909.8+x	17 <sup>-</sup>	Q	$R_{\text{ang}}=1.04$ 3.
574.3 2	20.6 10	2137.30+x	17 <sup>+</sup>	1562.97+x	15 <sup>+</sup>	Q	$R_{\text{ang}}=1.08$ 5.
575.0 2	1.10 11	2220.04+x	17 <sup>+</sup>	1645.03+x	15 <sup>+</sup>		
577.0 2	35.3 18	2175.1+x	18 <sup>-</sup>	1598.1+x	16 <sup>-</sup>	Q	$R_{\text{ang}}=0.97$ 5.
579.8 2	3.8 4	2782.82+x	19 <sup>+</sup>	2203.01+x	17 <sup>+</sup>	Q	$R_{\text{ang}}=1.00$ 5.
580.4 2	29.4 15	2312.56+x	18 <sup>+</sup>	1732.17+x	16 <sup>+</sup>	Q	$R_{\text{ang}}=0.94$ 3.
582.8 2	25.9 13	2170.4+x	18 <sup>-</sup>	1587.6+x	16 <sup>-</sup>	Q	$R_{\text{ang}}=0.99$ 4.
585.0 2	8.8 4	2566.3+x	18 <sup>+</sup>	1981.4+x	16 <sup>+</sup>	Q	$R_{\text{ang}}=1.05$ 3.
585.1 2	16.5 8	2494.8+x	19 <sup>-</sup>	1909.8+x	17 <sup>-</sup>	Q	$R_{\text{ang}}=1.10$ 3.
589.3 @ 2	1.20 12	3742.9+x	(22 <sup>+</sup> )	3153.6+x? (20 <sup>+</sup> )			
590.1 2	2.9 3	2810.2+x	19 <sup>+</sup>	2220.04+x	17 <sup>+</sup>		
592.0 2	1.20 12	1987.3+x	16 <sup>(-)</sup>	1395.3+x	15 <sup>-</sup>		
592.6 5	0.60 6	2737.1+x	17 <sup>-</sup>	2144.5+x	15 <sup>-</sup>		
595.2 2	29.4 15	2600.85+x	19 <sup>+</sup>	2005.65+x	17 <sup>+</sup>	Q	$R_{\text{ang}}=0.91$ 3.
597.8 2	14.7 7	2444.34+x	18 <sup>+</sup>	1846.62+x	16 <sup>+</sup>	Q	$R_{\text{ang}}=1.05$ 4.
601.6 5	0.60 6	3996.62+x	23 <sup>+</sup>	3394.99+x	21 <sup>+</sup>		

Continued on next page (footnotes at end of table)



<sup>124</sup>Sn(<sup>51</sup>V,5n $\gamma$ ) **2010Ag06,1985Ba48** (continued)

$\gamma$ (<sup>170</sup>Ta) (continued)

$E_\gamma$ †	$I_\gamma$ ‡	$E_i$ (level)	$J_i^\pi$	$E_f$	$J_f^\pi$	Mult. #	Comments
605.8 2	8.8 5	3122.9+x	20 <sup>+</sup>	2517.0+x	18 <sup>+</sup>	Q	R <sub>ang</sub> =0.98 5.
607.2 2	4.4 4	2810.2+x	19 <sup>+</sup>	2203.01+x	17 <sup>+</sup>	Q	R <sub>ang</sub> =1.07 6.
609.6 2	14.1 7	2482.4+x	19 <sup>-</sup>	1872.8+x	17 <sup>-</sup>		R <sub>ang</sub> =0.82 4. E <sub><math>\gamma</math></sub> : possibly the $\Delta J=2$ 608.5 $\gamma$ reported by 1985Ba48.
610.6 2	11.8 6	2747.94+x	19 <sup>+</sup>	2137.30+x	17 <sup>+</sup>	Q	R <sub>ang</sub> =1.24 10.
612.0 2	20.0 10	2924.6+x	20 <sup>+</sup>	2312.56+x	18 <sup>+</sup>	Q	R <sub>ang</sub> =0.94 3.
612.2 2	8.5 4	3394.99+x	21 <sup>+</sup>	2782.82+x	19 <sup>+</sup>	Q	R <sub>ang</sub> =0.99 5.
614.0 2	2.9 3	3682.83+x	22 <sup>+</sup>	3068.94+x	20 <sup>+</sup>		
614.8 2	5.9 3	3181.1+x	20 <sup>+</sup>	2566.3+x	18 <sup>+</sup>	Q	R <sub>ang</sub> =1.11 4.
617.8 2	5.0 5	3168.8+x	20 <sup>(-)</sup>	2551.0+x	18 <sup>(-)</sup>	Q	R <sub>ang</sub> =0.94 5.
618.6 2	22.9 11	3219.4+x	21 <sup>+</sup>	2600.85+x	19 <sup>+</sup>	Q	R <sub>ang</sub> =1.13 4.
619.7 2	2.40 24	3996.62+x	23 <sup>+</sup>	3376.86+x	21 <sup>+</sup>		
622.1 2	11.8 6	2494.8+x	19 <sup>-</sup>	1872.8+x	17 <sup>-</sup>		
622.7 2	2.9 3	3803.8+x	22 <sup>+</sup>	3181.1+x	20 <sup>+</sup>	Q	R <sub>ang</sub> =1.22 5.
624.6 2	3.2 3	3119.5+x	21 <sup>-</sup>	2494.8+x	19 <sup>-</sup>		
624.7 2	7.6 4	3068.94+x	20 <sup>+</sup>	2444.34+x	18 <sup>+</sup>	Q	R <sub>ang</sub> =1.00 5.
626.6 2	1.0 1	2801.8+x	20 <sup>-</sup>	2175.1+x	18 <sup>-</sup>		
627.2 2	1.20 12	3144.2+x		2517.0+x	18 <sup>+</sup>		
628.9 2	6.5 3	3376.86+x	21 <sup>+</sup>	2747.94+x	19 <sup>+</sup>	Q	R <sub>ang</sub> =1.09 6.
631.4 2	21.2 11	2801.8+x	20 <sup>-</sup>	2170.4+x	18 <sup>-</sup>		E <sub><math>\gamma</math></sub> : possibly the $\Delta J=2$ 631.7 $\gamma$ reported by 1985Ba48.
635.2 2	9.7 5	3559.8+x	22 <sup>+</sup>	2924.6+x	20 <sup>+</sup>	Q	R <sub>ang</sub> =1.14 4.
637.1 2	14.7 7	3119.5+x	21 <sup>-</sup>	2482.4+x	19 <sup>-</sup>	Q	R <sub>ang</sub> =1.18 7.
639.3 2	2.9 3	3449.5+x	21 <sup>+</sup>	2810.2+x	19 <sup>+</sup>	Q	R <sub>ang</sub> =1.17 9.
641.8 2	1.60 16	4324.6+x	24 <sup>+</sup>	3682.83+x	22 <sup>+</sup>		
643.5 5	0.60 6	3069.6+x	18 <sup>-</sup>	2426.1+x	16 <sup>-</sup>		
645.6 2	13.5 7	3865.0+x	23 <sup>+</sup>	3219.4+x	21 <sup>+</sup>	Q	R <sub>ang</sub> =1.14 4.
646.6 2	17.6 9	2821.7+x	20 <sup>-</sup>	2175.1+x	18 <sup>-</sup>	Q	R <sub>ang</sub> =1.04 6.
647.7 2	9.4 5	3142.4+x	21 <sup>-</sup>	2494.8+x	19 <sup>-</sup>		E <sub><math>\gamma</math></sub> : possibly the $\Delta J=2$ 646.5 $\gamma$ reported by 1985Ba48 but placed differently within the same band.
650.2 5	0.50 5	1728.6+x	13 <sup>-</sup>	1078.5+x	14 <sup>-</sup>		
652.5 2	0.60 6	4072.5+x	(23 <sup>+</sup> )	3420.0+x	(21 <sup>+</sup> )		
655.4 2	12.9 6	3457.4+x	22 <sup>-</sup>	2801.8+x	20 <sup>-</sup>	Q	R <sub>ang</sub> =1.03 4.
655.6 2	3.4 3	3824.4+x	22 <sup>(-)</sup>	3168.8+x	20 <sup>(-)</sup>	Q	R <sub>ang</sub> =0.97 6.
656.2 2	6.5 3	3779.1+x	22 <sup>+</sup>	3122.9+x	20 <sup>+</sup>	Q	R <sub>ang</sub> =1.08 7.
660.2 2	2.9 3	3142.4+x	21 <sup>-</sup>	2482.4+x	19 <sup>-</sup>		
661.0 2	2.9 3	4056.0+x	23 <sup>+</sup>	3394.99+x	21 <sup>+</sup>	Q	R <sub>ang</sub> =1.19 10.
663.5 2	6.5 3	3805.9+x	23 <sup>-</sup>	3142.4+x	21 <sup>-</sup>		
666.0 2	1.20 12	4469.7+x	24 <sup>+</sup>	3803.8+x	22 <sup>+</sup>	Q	R <sub>ang</sub> =0.93 6.
669.4 2	2.20 22	4118.9+x	23 <sup>+</sup>	3449.5+x	21 <sup>+</sup>	Q	R <sub>ang</sub> =1.09 14.
671.3 2	7.5 4	4231.0+x	24 <sup>+</sup>	3559.8+x	22 <sup>+</sup>	Q	R <sub>ang</sub> =0.97 4.
671.9 2	6.8 3	4129.4+x	24 <sup>-</sup>	3457.4+x	22 <sup>-</sup>	Q	R <sub>ang</sub> =1.11 5.
672.0 2	1.20 12	3420.0+x	(21 <sup>+</sup> )	2747.94+x	19 <sup>+</sup>		
674.0 2	2.9 3	3742.9+x	(22 <sup>+</sup> )	3068.94+x	20 <sup>+</sup>		
677.2 2	2.9 3	4673.9+x	25 <sup>+</sup>	3996.62+x	23 <sup>+</sup>		
677.5 2	1.80 18	4072.5+x	(23 <sup>+</sup> )	3394.99+x	21 <sup>+</sup>		
679.1 2	1.8 2	4056.0+x	23 <sup>+</sup>	3376.86+x	21 <sup>+</sup>		
679.4 5	0.60 6	3416.5+x	19 <sup>-</sup>	2737.1+x	17 <sup>-</sup>		
679.5 2	11.2 6	3799.0+x	23 <sup>-</sup>	3119.5+x	21 <sup>-</sup>	Q	R <sub>ang</sub> =1.07 6.
684.7 5	0.60 6	4564.0+x		3879.3+x			
686.1 2	1.60 16	4510.5+x	24 <sup>(-)</sup>	3824.4+x	22 <sup>(-)</sup>	Q	R <sub>ang</sub> =1.07 7.
689.4 2	4.1 4	4495.3+x	25 <sup>-</sup>	3805.9+x	23 <sup>-</sup>		
689.6 5	0.50 5	4493.6+x	24 <sup>+</sup>	3803.8+x	22 <sup>+</sup>		
690.0 2	1.20 12	3834.2+x		3144.2+x			
690.5 2	1.20 12	4469.7+x	24 <sup>+</sup>	3779.1+x	22 <sup>+</sup>		
691.8 2	1.90 19	4434.7+x	(24 <sup>+</sup> )	3742.9+x	(22 <sup>+</sup> )		

Continued on next page (footnotes at end of table)

$^{124}\text{Sn}(^{51}\text{V},5\text{n}\gamma)$  **2010Ag06,1985Ba48** (continued) $\gamma(^{170}\text{Ta})$  (continued)

$E_\gamma$ †	$I_\gamma$ ‡	$E_i(\text{level})$	$J_i^\pi$	$E_f$	$J_f^\pi$	Mult. #	Comments
693.8 5	0.60 6	3763.4+x	20 <sup>-</sup>	3069.6+x	18 <sup>-</sup>		
693.8 5	0.60 6	4110.3+x	21 <sup>-</sup>	3416.5+x	19 <sup>-</sup>		
694.6 2	10.6 5	4559.7+x	25 <sup>+</sup>	3865.0+x	23 <sup>+</sup>	Q	R <sub>ang</sub> =1.16 6.
695.6 5	0.90 9	4072.5+x	(23 <sup>+</sup> )	3376.86+x	21 <sup>+</sup>		
698.2 2	1.20 12	3879.3+x		3181.1+x	20 <sup>+</sup>		
701.5 2	1.80 18	4525.9+x	(24 <sup>-</sup> )	3824.4+x	22 <sup>(-)</sup>		
703.2 2	1.20 12	5229.1+x	(26 <sup>-</sup> )	4525.9+x	(24 <sup>-</sup> )		
704.3 2	7.6 4	3526.0+x	22 <sup>-</sup>	2821.7+x	20 <sup>-</sup>	Q	R <sub>ang</sub> =1.04 6.
709.4 @ 5	0.60 6	3153.6+x?	(20 <sup>+</sup> )	2444.34+x	18 <sup>+</sup>		
712.5 5	0.60 6	4475.9+x	22 <sup>-</sup>	3763.4+x	20 <sup>-</sup>		
713.6 2	5.9 3	4843.0+x	26 <sup>-</sup>	4129.4+x	24 <sup>-</sup>		
714.5 2	3.8 4	4493.6+x	24 <sup>+</sup>	3779.1+x	22 <sup>+</sup>	Q	R <sub>ang</sub> =1.09 12.
715.7 2	1.20 12	5040.2+x	26 <sup>+</sup>	4324.6+x	24 <sup>+</sup>		
716.2 5	0.60 6	4835.1+x	25 <sup>+</sup>	4118.9+x	23 <sup>+</sup>		
721.5 2	2.6 3	4777.5+x	25 <sup>+</sup>	4056.0+x	23 <sup>+</sup>	Q	R <sub>ang</sub> =1.04 9.
721.7 2	1.50 15	4794.2+x	(25 <sup>+</sup> )	4072.5+x	(23 <sup>+</sup> )		
721.9 2	8.2 4	4520.9+x	25 <sup>-</sup>	3799.0+x	23 <sup>-</sup>		
727.1 2	6.1 3	4958.1+x	26 <sup>+</sup>	4231.0+x	24 <sup>+</sup>	Q	R <sub>ang</sub> =1.02 7.
737.7 5	0.50 5	5207.4+x	26 <sup>+</sup>	4469.7+x	24 <sup>+</sup>		
743.9 5	0.60 6	5973.0+x	(28 <sup>-</sup> )	5229.1+x	(26 <sup>-</sup> )		
744.7 2	1.20 12	4578.9+x		3834.2+x			
747.8 2	3.5 4	5243.1+x	27 <sup>-</sup>	4495.3+x	25 <sup>-</sup>		
748.1 2	1.80 18	5422.0+x	27 <sup>+</sup>	4673.9+x	25 <sup>+</sup>		
750.1 5	0.30 3	5314.1+x		4564.0+x			
754.1 5	0.80 8	5188.8+x	(26 <sup>+</sup> )	4434.7+x	(24 <sup>+</sup> )		
754.8 2	5.3 3	4280.8+x	24 <sup>-</sup>	3526.0+x	22 <sup>-</sup>	Q	R <sub>ang</sub> =1.10 7.
756.6 5	0.90 9	5267.1+x	26 <sup>(-)</sup>	4510.5+x	24 <sup>(-)</sup>		
758.6 2	7.6 4	5318.2+x	27 <sup>+</sup>	4559.7+x	25 <sup>+</sup>	Q	R <sub>ang</sub> =1.02 8.
763.3 2	2.50 25	5256.9+x	26 <sup>+</sup>	4493.6+x	24 <sup>+</sup>	Q	R <sub>ang</sub> =0.89 8.
764.4 5	0.40 4	5599.5+x	27 <sup>+</sup>	4835.1+x	25 <sup>+</sup>		
764.7 2	1.60 16	5542.2+x	27 <sup>+</sup>	4777.5+x	25 <sup>+</sup>		
766.6 2	6.5 3	5287.5+x	27 <sup>-</sup>	4520.9+x	25 <sup>-</sup>		
773.8 5	0.40 4	1728.6+x	13 <sup>-</sup>	954.88+x	13 <sup>+</sup>		
777.1 2	1.80 18	3996.62+x	23 <sup>+</sup>	3219.4+x	21 <sup>+</sup>		
777.9 2	3.6 4	5620.9+x	28 <sup>-</sup>	4843.0+x	26 <sup>-</sup>		
778.2 2	1.00 10	6320.4+x	29 <sup>+</sup>	5542.2+x	27 <sup>+</sup>		
784.0 5	0.50 5	5578.2+x	(27 <sup>+</sup> )	4794.2+x	(25 <sup>+</sup> )		
786.0 2	1.10 11	5826.2+x	28 <sup>+</sup>	5040.2+x	26 <sup>+</sup>		
789.2 2	4.4 4	5747.3+x	28 <sup>+</sup>	4958.1+x	26 <sup>+</sup>	Q	R <sub>ang</sub> =0.97 9.
794.3 5	0.60 6	6767.3+x	(30 <sup>-</sup> )	5973.0+x	(28 <sup>-</sup> )		
795.4 5	0.30 3	5984.3+x	(28 <sup>+</sup> )	5188.8+x	(26 <sup>+</sup> )		
795.5 5	0.50 5	6052.4+x		5256.9+x	26 <sup>+</sup>		
800.7 2	3.2 3	5081.5+x	26 <sup>-</sup>	4280.8+x	24 <sup>-</sup>	Q	R <sub>ang</sub> =0.98 7.
801.2 5	0.40 4	6068.3+x	28 <sup>(-)</sup>	5267.1+x	26 <sup>(-)</sup>		
806.1 5	0.2 1	6405.6+x	29 <sup>+</sup>	5599.5+x	27 <sup>+</sup>		
810.5 5	0.90 9	5389.4+x		4578.9+x			
811.1 2	1.20 12	6233.1+x	29 <sup>+</sup>	5422.0+x	27 <sup>+</sup>		
811.3 5	0.30 3	6863.7+x		6052.4+x			
818.1 2	3.2 3	6105.5+x	29 <sup>-</sup>	5287.5+x	27 <sup>-</sup>		
819.0 5	0.40 4	6026.4+x	28 <sup>+</sup>	5207.4+x	26 <sup>+</sup>		
821.8 2	3.4 3	6064.9+x	29 <sup>-</sup>	5243.1+x	27 <sup>-</sup>		
823.8 2	1.30 13	6080.7+x	28 <sup>+</sup>	5256.9+x	26 <sup>+</sup>		
824.7 2	5.0 5	6142.9+x	29 <sup>+</sup>	5318.2+x	27 <sup>+</sup>		
829.7 5	0.10 5	6814.0+x	(30 <sup>+</sup> )	5984.3+x	(28 <sup>+</sup> )		
837.6 5	0.70 7	7158.0+x	31 <sup>+</sup>	6320.4+x	29 <sup>+</sup>		

Continued on next page (footnotes at end of table)

<sup>124</sup>Sn(<sup>51</sup>V,5n $\gamma$ ) **2010Ag06,1985Ba48** (continued)

$\gamma(^{170}\text{Ta})$  (continued)

$E_\gamma$ †	$I_\gamma$ ‡	$E_i(\text{level})$	$J_i^\pi$	$E_f$	$J_f^\pi$	Mult. #	Comments
838.3 5	0.30 3	6906.6+x	30 <sup>(-)</sup>	6068.3+x	28 <sup>(-)</sup>		
838.4 5	0.2 1	6027.3+x	(28 <sup>+</sup> )	5188.8+x	(26 <sup>+</sup> )		
843.1 2	2.10 21	5924.6+x	28 <sup>-</sup>	5081.5+x	26 <sup>-</sup>	(Q)	$R_{\text{ang}}=0.87$ 7.
847.0 2	1.80 18	6467.9+x	30 <sup>-</sup>	5620.9+x	28 <sup>-</sup>		
848.2 2	4.2 4	6595.5+x	30 <sup>+</sup>	5747.3+x	28 <sup>+</sup>		
852.4 5	0.40 4	6430.6+x	(29 <sup>+</sup> )	5578.2+x	(27 <sup>+</sup> )		
852.9 5	0.1 1	7258.5+x	31 <sup>+</sup>	6405.6+x	29 <sup>+</sup>		
854.9 5	0.60 6	6681.1+x	30 <sup>+</sup>	5826.2+x	28 <sup>+</sup>		
854.9 5	0.50 5	7622.2+x	(32 <sup>-</sup> )	6767.3+x	(30 <sup>-</sup> )		
856.7 2	1.20 12	7089.8+x	31 <sup>+</sup>	6233.1+x	29 <sup>+</sup>		
868.8 5	0.60 6	6949.5+x	30 <sup>+</sup>	6080.7+x	28 <sup>+</sup>		
869.5 5	0.30 3	7959.3+x	33 <sup>+</sup>	7089.8+x	31 <sup>+</sup>		
873.6 5	0.40 4	1728.6+x	13 <sup>-</sup>	855.0+x	13 <sup>-</sup>		
873.9 5	<0.1	7687.9+x	(32 <sup>+</sup> )	6814.0+x	(30 <sup>+</sup> )		
875.3 5	0.2 1	6417.5+x		5542.2+x	27 <sup>+</sup>		
876.6 2	1.20 12	6982.1+x	31 <sup>-</sup>	6105.5+x	29 <sup>-</sup>		
887.2 2	3.1 3	7030.1+x	31 <sup>+</sup>	6142.9+x	29 <sup>+</sup>		
889.5 5	0.1 1	7796.1+x	32 <sup>(-)</sup>	6906.6+x	30 <sup>(-)</sup>		
890.3 2	1.80 18	6814.9+x	30 <sup>-</sup>	5924.6+x	28 <sup>-</sup>		
891.9 5	<0.1	8150.4+x	33 <sup>+</sup>	7258.5+x	31 <sup>+</sup>		
893.5 5	0.1 1	7757.2+x		6863.7+x			
893.6 5	0.30 3	6920.0+x	30 <sup>+</sup>	6026.4+x	28 <sup>+</sup>		
893.8 5	0.1 1	6921.1+x	(30 <sup>+</sup> )	6027.3+x	(28 <sup>+</sup> )		
893.8 5	0.2 1	7311.3+x		6417.5+x			
895.5 2	1.90 19	6960.4+x	31 <sup>-</sup>	6064.9+x	29 <sup>-</sup>		
901.3 5	0.40 4	7331.9+x	(31 <sup>+</sup> )	6430.6+x	(29 <sup>+</sup> )		
904.0 2	2.40 24	7499.6+x	32 <sup>+</sup>	6595.5+x	30 <sup>+</sup>		
904.9 5	0.40 4	7994.7+x	33 <sup>+</sup>	7089.8+x	31 <sup>+</sup>		
912.5 5	0.70 7	7380.4+x	32 <sup>-</sup>	6467.9+x	30 <sup>-</sup>		
915.2 5	0.50 5	8537.5+x	(34 <sup>-</sup> )	7622.2+x	(32 <sup>-</sup> )		
920.4 5	<0.1	9070.8+x	35 <sup>+</sup>	8150.4+x	33 <sup>+</sup>		
920.7 5	$\approx$ 0.5	1286.5+x		365.7+x	10 <sup>-</sup>		$E_\gamma, I_\gamma$ : from e-mail reply of Aug 10, 2010 from one of the authors (D. Hartley) of <a href="#">2010Ag06</a> .
921.0 5	0.2 1	7602.1+x	32 <sup>+</sup>	6681.1+x	30 <sup>+</sup>		
921.1 5	0.60 6	7870.6+x	32 <sup>+</sup>	6949.5+x	30 <sup>+</sup>		
926.1 5	0.90 9	7908.2+x	33 <sup>-</sup>	6982.1+x	31 <sup>-</sup>		
929.2 2	2.20 22	7959.3+x	33 <sup>+</sup>	7030.1+x	31 <sup>+</sup>		
933.5 5	0.50 5	8091.5+x	33 <sup>+</sup>	7158.0+x	31 <sup>+</sup>		
935.3 5	<0.1	8623.2+x	(34 <sup>+</sup> )	7687.9+x	(32 <sup>+</sup> )		
937.3 5	<0.1	7858.4+x	(32 <sup>+</sup> )	6921.1+x	(30 <sup>+</sup> )		
941.4 5	0.90 9	7756.3+x	32 <sup>-</sup>	6814.9+x	30 <sup>-</sup>		
944.9 2	1.50 15	8904.2+x	35 <sup>+</sup>	7959.3+x	33 <sup>+</sup>		
947.7 5	0.60 6	7908.2+x	33 <sup>-</sup>	6960.4+x	31 <sup>-</sup>		
948.3 5	0.2 1	8280.2+x	(33 <sup>+</sup> )	7331.9+x	(31 <sup>+</sup> )		
949.2 5	<0.1	8807.6+x	(34 <sup>+</sup> )	7858.4+x	(32 <sup>+</sup> )		
949.4 5	0.2 1	8260.7+x		7311.3+x			
956.4 5	0.30 3	7938.5+x	33 <sup>-</sup>	6982.1+x	31 <sup>-</sup>		
957.1 2	1.50 15	8456.7+x	34 <sup>+</sup>	7499.6+x	32 <sup>+</sup>		
971.1 5	0.40 4	8351.5+x	34 <sup>-</sup>	7380.4+x	32 <sup>-</sup>		
973.8 5	0.50 5	8844.4+x	34 <sup>+</sup>	7870.6+x	32 <sup>+</sup>		
975.6 5	0.2 1	9513.1+x	(36 <sup>-</sup> )	8537.5+x	(34 <sup>-</sup> )		
978.0 5	0.60 6	7938.5+x	33 <sup>-</sup>	6960.4+x	31 <sup>-</sup>		
981.5 5	0.2 1	8583.6+x	34 <sup>+</sup>	7602.1+x	32 <sup>+</sup>		
989.1 5	0.90 9	1728.6+x	13 <sup>-</sup>	739.48+x	12 <sup>+</sup>		
993.5 5	0.90 9	8901.7+x	35 <sup>-</sup>	7908.2+x	33 <sup>-</sup>		

Continued on next page (footnotes at end of table)

$^{124}\text{Sn}(^{51}\text{V},5n\gamma)$  **2010Ag06,1985Ba48** (continued) $\gamma(^{170}\text{Ta})$  (continued)

$E_\gamma^\dagger$	$I_\gamma^\ddagger$	$E_i(\text{level})$	$J_i^\pi$	$E_f$	$J_f^\pi$
996.9 5	0.30 3	8753.2+x	34 <sup>-</sup>	7756.3+x	32 <sup>-</sup>
997.8 5	0.1 1	9258.5+x		8260.7+x	
1001.6 5	0.2 1	8996.3+x	35 <sup>+</sup>	7994.7+x	33 <sup>+</sup>
1002.7 2	1.20 12	9459.4+x	36 <sup>+</sup>	8456.7+x	34 <sup>+</sup>
1002.7 2	1.0 1	9906.9+x	37 <sup>+</sup>	8904.2+x	35 <sup>+</sup>
1004.1 5	0.1 1	9587.7+x	36 <sup>+</sup>	8583.6+x	34 <sup>+</sup>
1005.7 5	0.2 1	9097.2+x	35 <sup>+</sup>	8091.5+x	33 <sup>+</sup>
1019.4 5	0.60 6	9370.9+x	36 <sup>-</sup>	8351.5+x	34 <sup>-</sup>
1020.4 5	0.3 1	9864.8+x	36 <sup>+</sup>	8844.4+x	34 <sup>+</sup>
1036.7 5	0.1 1	10549.8+x	(38 <sup>-</sup> )	9513.1+x	(36 <sup>-</sup> )
1037.7 5	0.2 1	8976.2+x	35 <sup>-</sup>	7938.5+x	33 <sup>-</sup>
1041.5 5	0.70 7	10500.9+x	38 <sup>+</sup>	9459.4+x	36 <sup>+</sup>
1047.9 5	0.60 6	9949.6+x	37 <sup>-</sup>	8901.7+x	35 <sup>-</sup>
1055.5 5	0.2 1	10920.3+x	38 <sup>+</sup>	9864.8+x	36 <sup>+</sup>
1057.7 5	0.2 1	9810.9+x	36 <sup>-</sup>	8753.2+x	34 <sup>-</sup>
1059.6 5	0.50 5	10430.5+x	38 <sup>-</sup>	9370.9+x	36 <sup>-</sup>
1064.4 5	0.50 5	10971.3+x	39 <sup>+</sup>	9906.9+x	37 <sup>+</sup>
1065.2 5	0.30 3	1728.6+x	13 <sup>-</sup>	663.5+x	12 <sup>-</sup>
1066.9 5	0.1 1	10164.1+x	37 <sup>+</sup>	9097.2+x	35 <sup>+</sup>
1071.7 5	0.1 1	10882.6+x	38 <sup>-</sup>	9810.9+x	36 <sup>-</sup>
1083.4 5	0.40 4	11584.3+x	40 <sup>+</sup>	10500.9+x	38 <sup>+</sup>
1089.2 5	0.2 1	11519.7+x	40 <sup>-</sup>	10430.5+x	38 <sup>-</sup>
1097.5 5	0.3 1	11047.1+x	39 <sup>-</sup>	9949.6+x	37 <sup>-</sup>
1098.7 5	0.1 1	11648.5+x	(40 <sup>-</sup> )	10549.8+x	(38 <sup>-</sup> )
1108.1 5	0.1 1	10084.3+x	37 <sup>-</sup>	8976.2+x	35 <sup>-</sup>
1113.4 5	<0.1	11277.5+x	39 <sup>+</sup>	10164.1+x	37 <sup>+</sup>
1120.0 5	0.1 1	12639.7+x	42 <sup>-</sup>	11519.7+x	40 <sup>-</sup>
1120.9 5	0.30 3	12092.2+x	41 <sup>+</sup>	10971.3+x	39 <sup>+</sup>
1128.6 5	0.2 1	12712.9+x	42 <sup>+</sup>	11584.3+x	40 <sup>+</sup>
1146.5 5	0.1 1	12193.6+x	41 <sup>-</sup>	11047.1+x	39 <sup>-</sup>
1150.8 5	0.1 1	11235.1+x	39 <sup>-</sup>	10084.3+x	37 <sup>-</sup>
1153.4 5	<0.1	13793.1+x	44 <sup>-</sup>	12639.7+x	42 <sup>-</sup>
1167.7 @ 5	0.1 1	13361.3+x?	(43 <sup>-</sup> )	12193.6+x	41 <sup>-</sup>
1168.7 5	0.2 1	13260.9+x	43 <sup>+</sup>	12092.2+x	41 <sup>+</sup>
1169.4 5	<0.1	12446.9+x	41 <sup>+</sup>	11277.5+x	39 <sup>+</sup>
1176.3 5	0.1 1	13889.2+x	44 <sup>+</sup>	12712.9+x	42 <sup>+</sup>
1184.1 5	<0.1	14977.2+x	46 <sup>-</sup>	13793.1+x	44 <sup>-</sup>
1197.3 5	0.1 1	14458.2+x	45 <sup>+</sup>	13260.9+x	43 <sup>+</sup>
1216.9 @ 5	<0.1	15106.1+x?	(46 <sup>+</sup> )	13889.2+x	44 <sup>+</sup>
1219.0 @ 5	<0.1	16196.2+x?	(48 <sup>-</sup> )	14977.2+x	46 <sup>-</sup>
1230.7 5	<0.1	15688.9+x	47 <sup>+</sup>	14458.2+x	45 <sup>+</sup>
1267.0 @ 5	<0.1	16955.9+x?	(49 <sup>+</sup> )	15688.9+x	47 <sup>+</sup>

† 2010Ag06 report uncertainties of 0.2 keV for most transitions but 0.5 keV when  $I_\gamma < 1$ .

‡ 2010Ag06 report uncertainties of <5% for  $I_\gamma > 5$ , ~10% for  $I_\gamma \leq 5$ . The evaluators assign 5% for  $\gamma$  rays with  $I_\gamma > 5$ , 10% or larger for  $I_\gamma \leq 5$ . Listed intensities are photon intensities as per e-mail reply of Aug 10, 2010 from one of the authors (F.G. Kondev) of 2010Ag06.

# Based on  $R_{\text{ang}} = W(\theta_f, \Phi) / W(\theta_{90^\circ}, \Phi)$  from 2010Ag06, where  $W(\theta_f, \Phi)$  is the intensity observed in the forward detectors ( $\theta = 122^\circ, 130^\circ, 143^\circ, 148^\circ, \text{ and } 163^\circ$ ) and  $W(\theta_{90^\circ}, \Phi)$  is the intensity observed in the detectors near  $90^\circ$  ( $\theta = 79^\circ, 81^\circ, 90^\circ, 99^\circ, \text{ and } 101^\circ$ ). Expected values are  $\approx 1.0$  for  $\Delta J = 2$ , Q transitions (normalized using known E2 transitions), and  $\approx 0.5$  for  $\Delta J = 1$ , (mainly) D transitions. 1985Ba48 deduced consistent  $\Delta J$  for a number of transitions based on their unstated  $\gamma(\theta)$  data.

@ Placement of transition in the level scheme is uncertain.

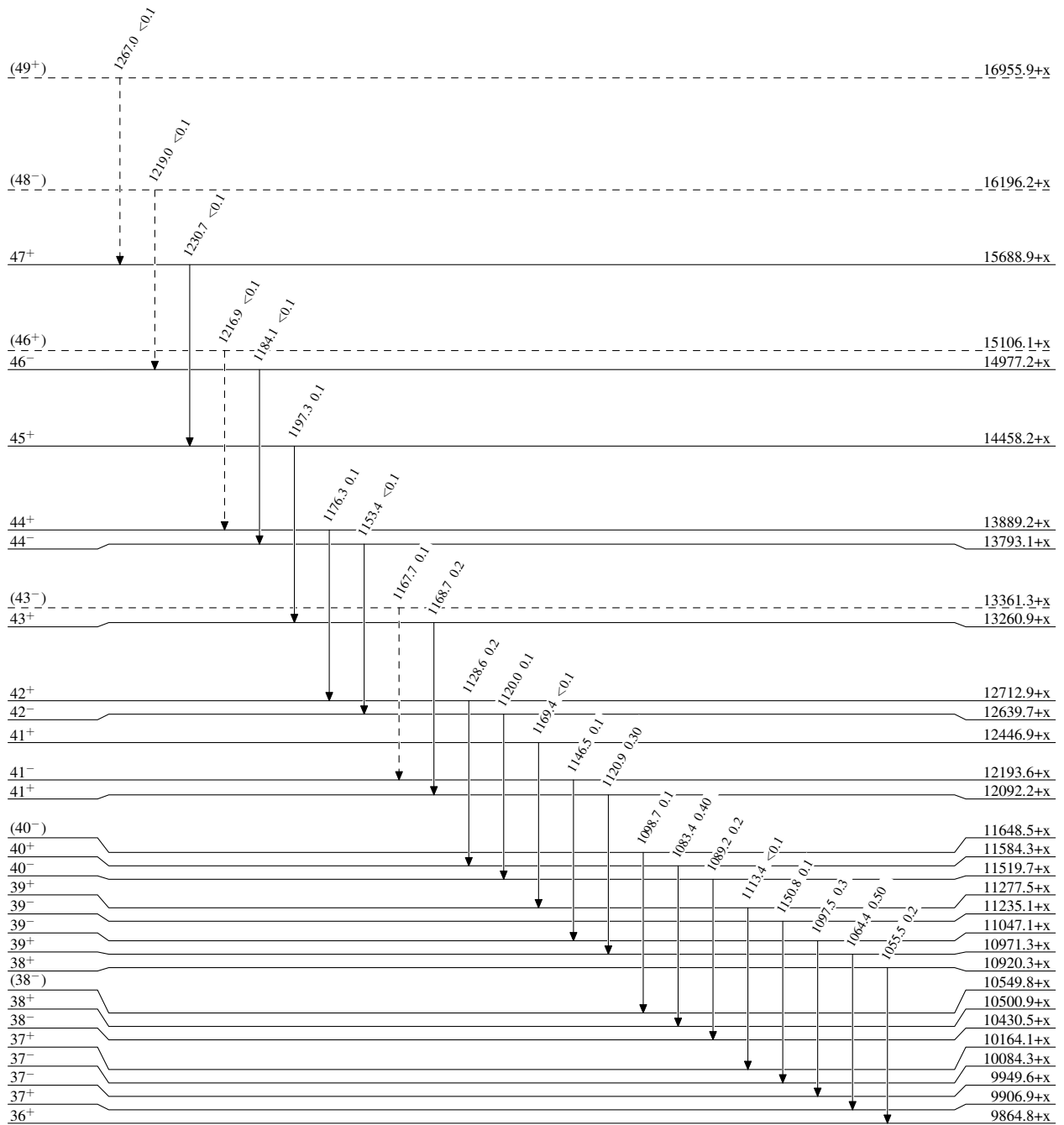
$^{124}\text{Sn}(^{51}\text{V},5\text{n}\gamma)$  2010Ag06,1985Ba48

Legend

Level Scheme

Intensities: Relative  $I_\gamma$

- ▶  $I_\gamma < 2\% \times I_\gamma^{max}$
- ▶  $I_\gamma < 10\% \times I_\gamma^{max}$
- ▶  $I_\gamma > 10\% \times I_\gamma^{max}$
- - -▶  $\gamma$  Decay (Uncertain)



$^{170}_{73}\text{Ta}_{97}$

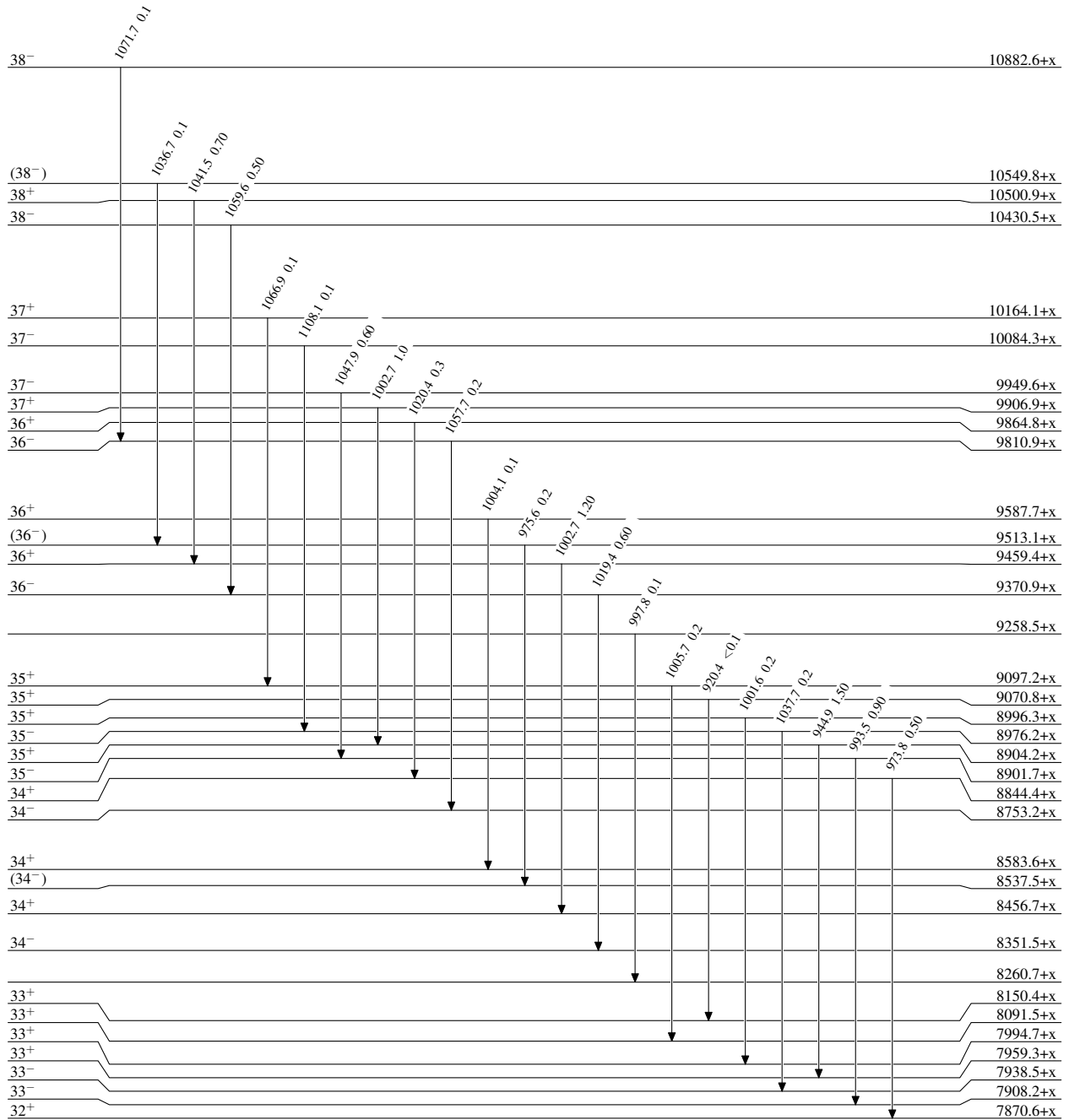
<sup>124</sup>Sn(<sup>51</sup>V,5n $\gamma$ ) 2010Ag06,1985Ba48

Level Scheme (continued)

Intensities: Relative I $\gamma$

Legend

- I $\gamma$  < 2%  $\times$  I $\gamma^{max}$
- I $\gamma$  < 10%  $\times$  I $\gamma^{max}$
- I $\gamma$  > 10%  $\times$  I $\gamma^{max}$



<sup>170</sup>Ta<sub>97</sub>

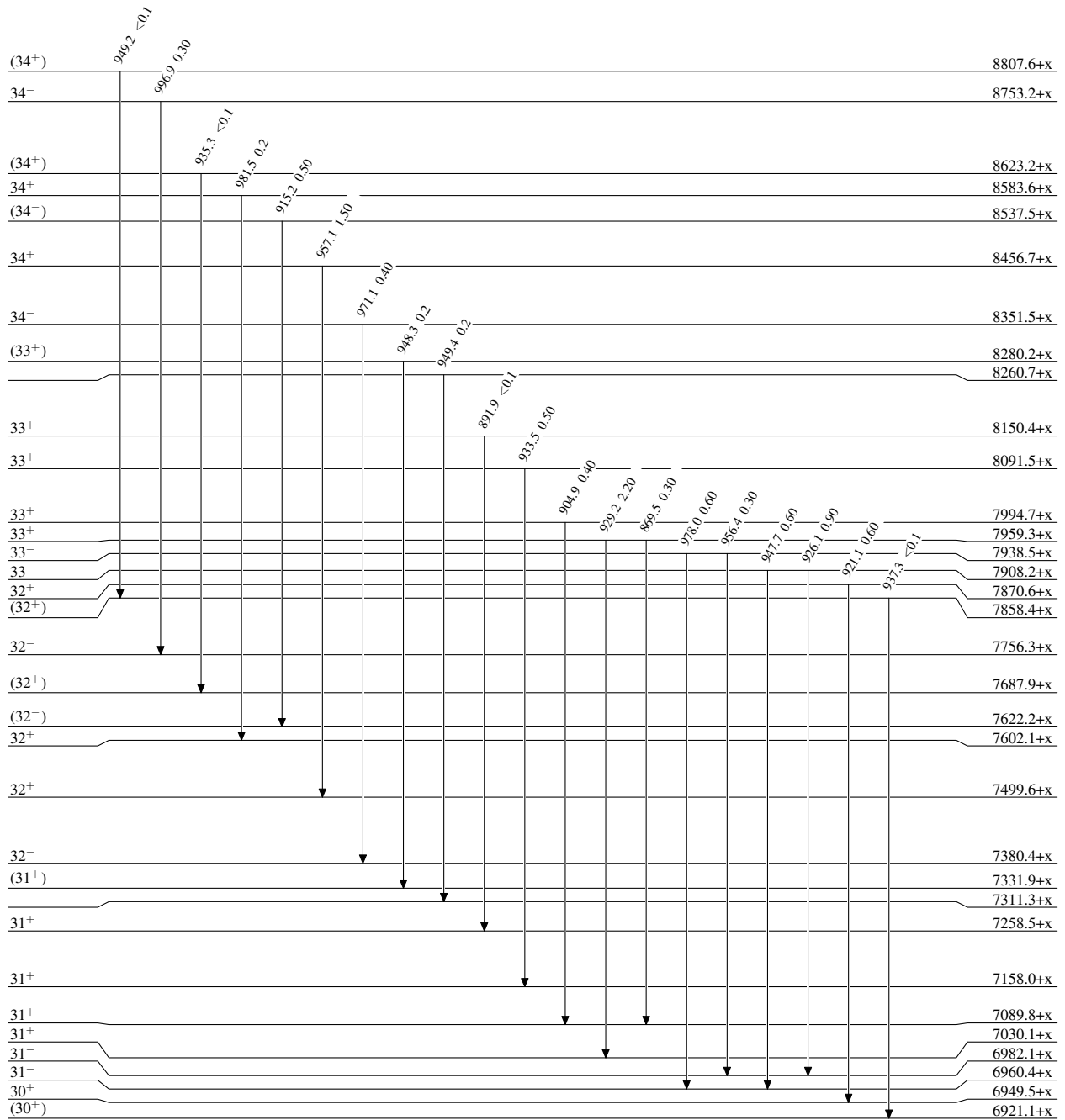
$^{124}\text{Sn}(^{51}\text{V},5\text{n}\gamma)$  2010Ag06,1985Ba48

Level Scheme (continued)

Intensities: Relative  $I_\gamma$

Legend

- $I_\gamma < 2\% \times I_\gamma^{max}$
- $I_\gamma < 10\% \times I_\gamma^{max}$
- $I_\gamma > 10\% \times I_\gamma^{max}$



$^{170}_{73}\text{Ta}_{97}$

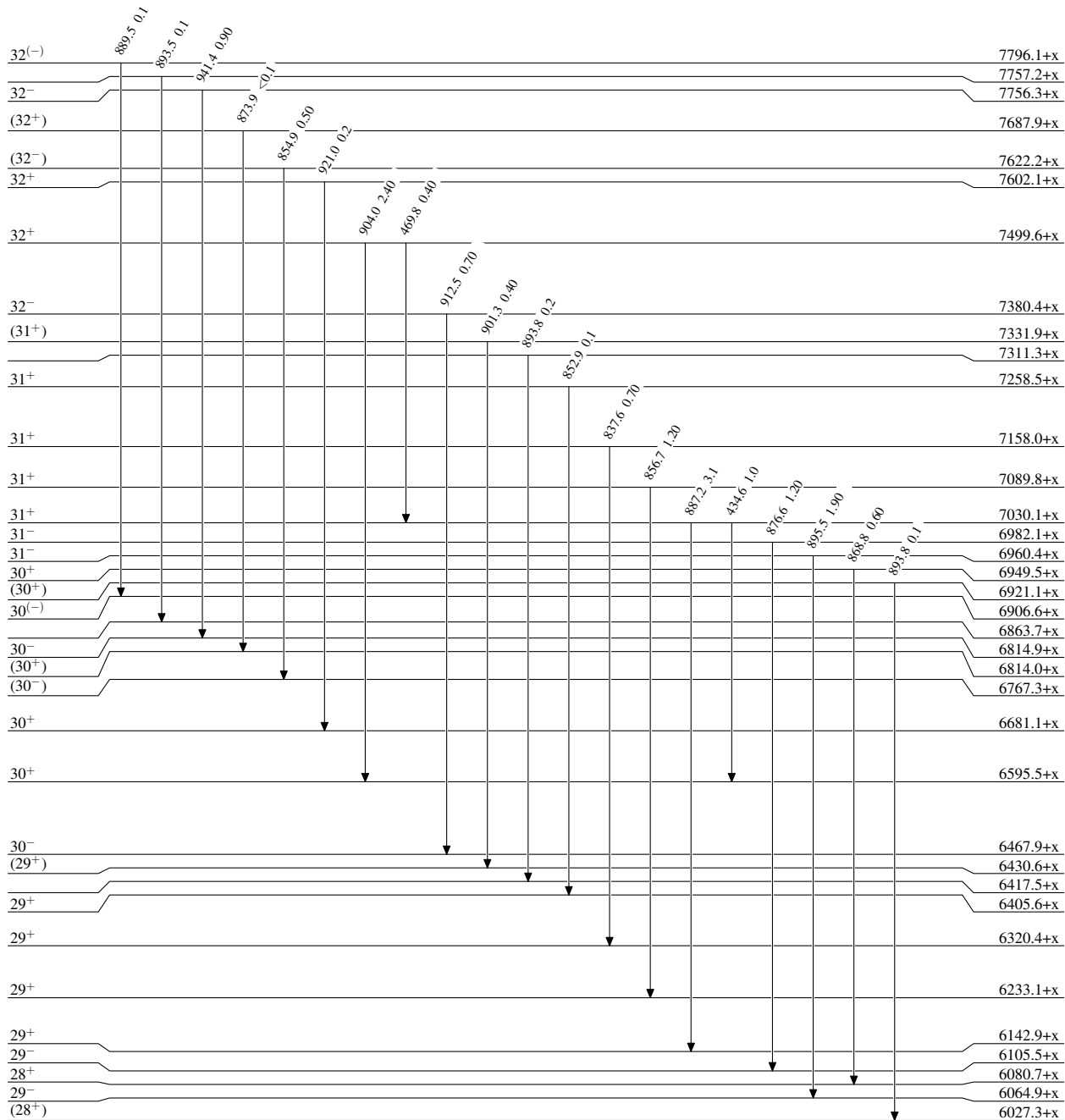
<sup>124</sup>Sn(<sup>51</sup>V,5n $\gamma$ ) 2010Ag06,1985Ba48

Level Scheme (continued)

Intensities: Relative I <sub>$\gamma$</sub>

Legend

- I <sub>$\gamma$</sub>  < 2% × I <sub>$\gamma$</sub> <sup>max</sup>
- I <sub>$\gamma$</sub>  < 10% × I <sub>$\gamma$</sub> <sup>max</sup>
- I <sub>$\gamma$</sub>  > 10% × I <sub>$\gamma$</sub> <sup>max</sup>



<sup>170</sup>Ta<sub>97</sub>



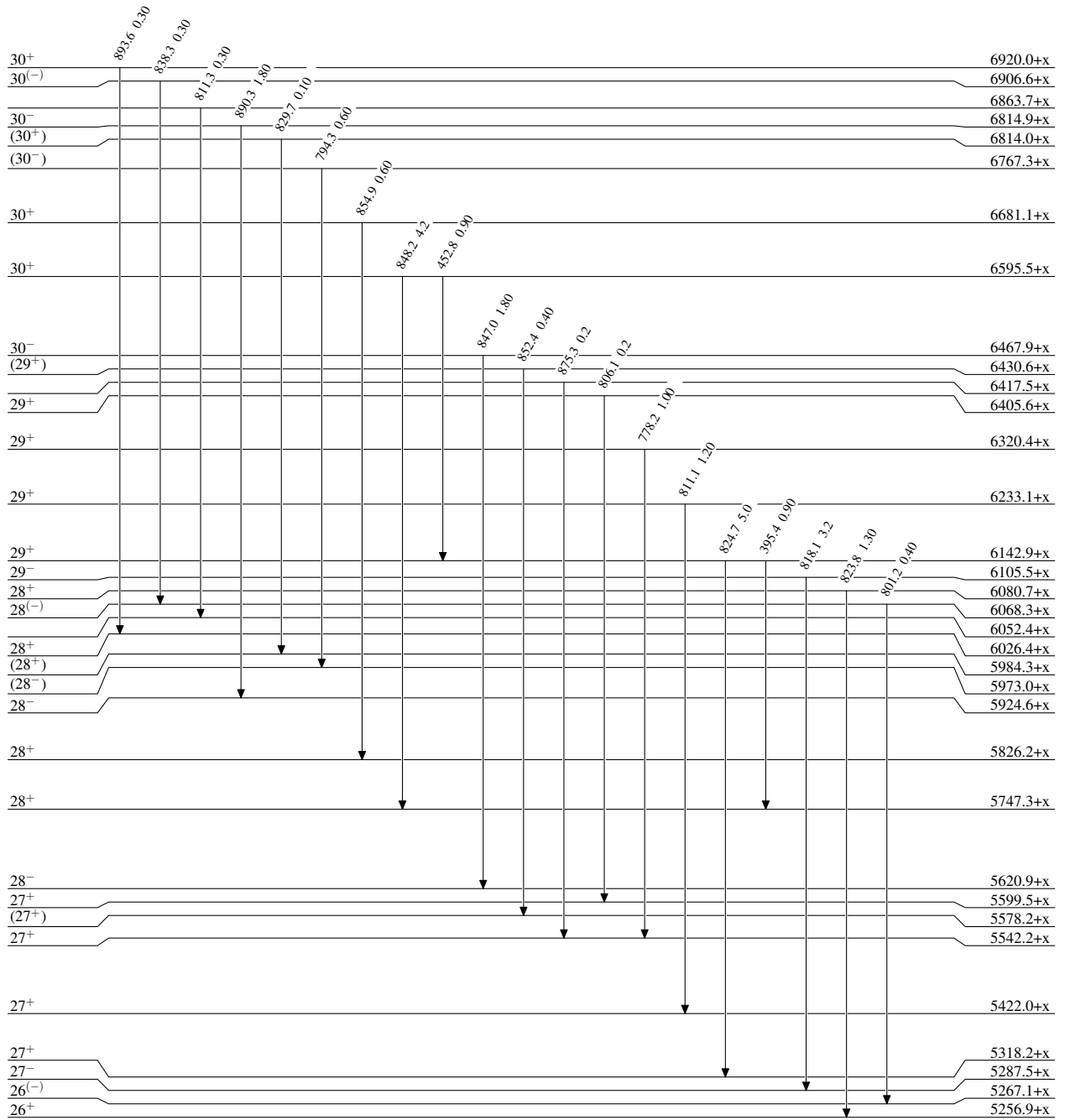
$^{124}\text{Sn}(^{51}\text{V},5\text{n}\gamma)$  2010Ag06,1985Ba48

Level Scheme (continued)

Intensities: Relative  $I_\gamma$

Legend

- $I_\gamma < 2\% \times I_\gamma^{\text{max}}$
- $I_\gamma < 10\% \times I_\gamma^{\text{max}}$
- $I_\gamma > 10\% \times I_\gamma^{\text{max}}$



$^{170}_{73}\text{Ta}_{97}$

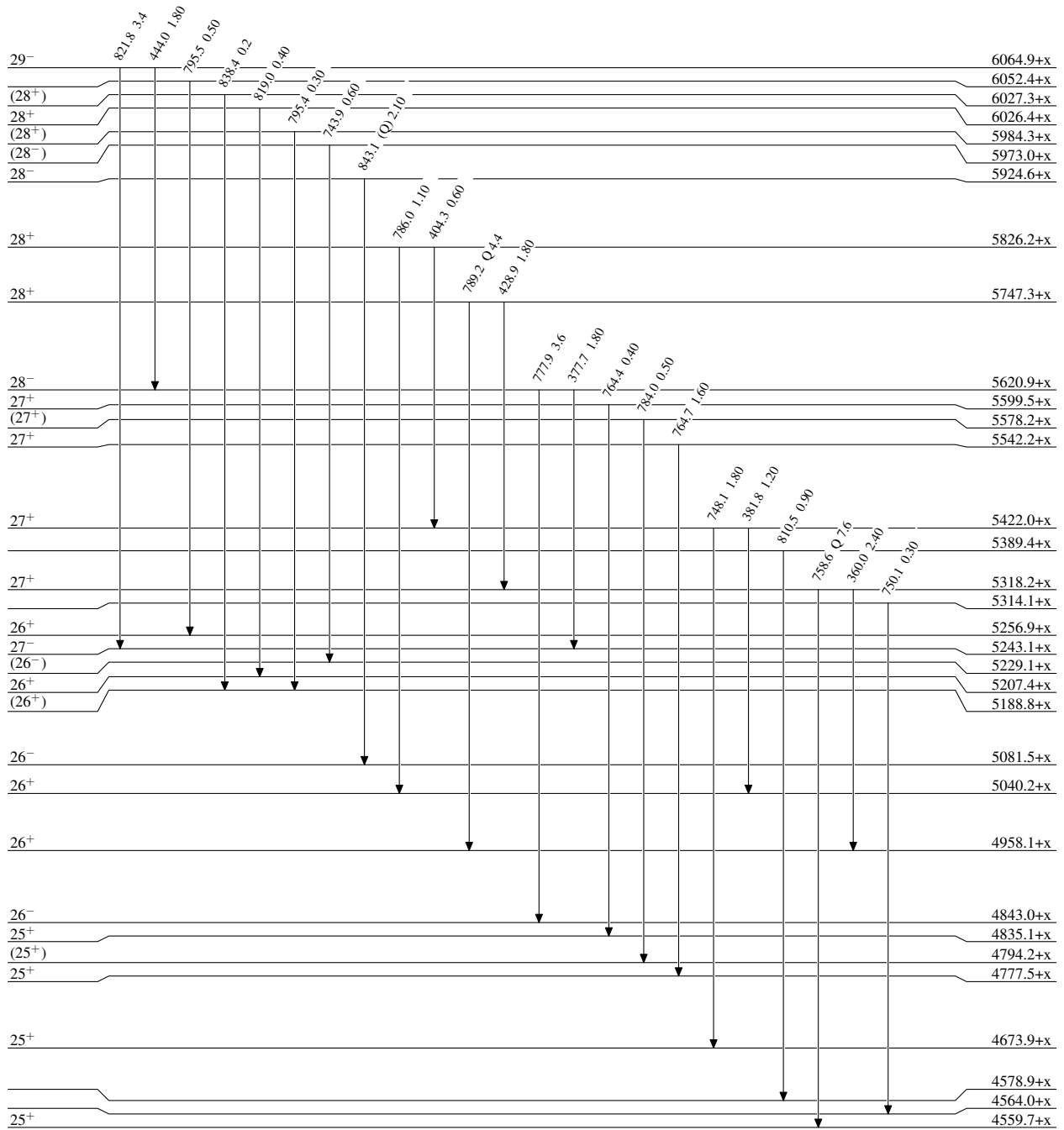
<sup>124</sup>Sn(<sup>51</sup>V,5n $\gamma$ ) 2010Ag06,1985Ba48

Level Scheme (continued)

Intensities: Relative I $\gamma$

Legend

- I $\gamma$  < 2%  $\times$  I $\gamma^{max}$
- I $\gamma$  < 10%  $\times$  I $\gamma^{max}$
- I $\gamma$  > 10%  $\times$  I $\gamma^{max}$



<sup>170</sup>Ta<sub>97</sub>

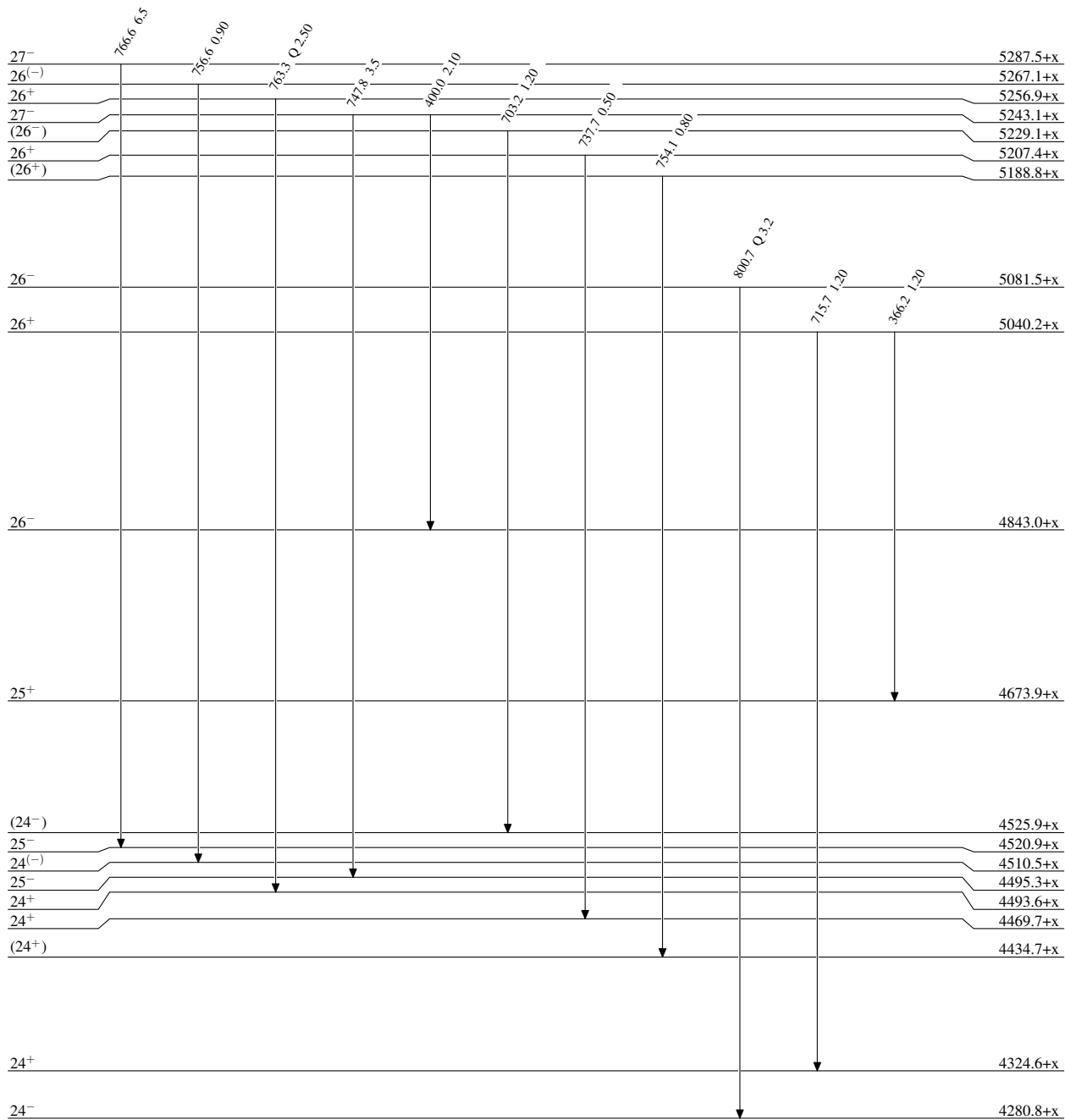
$^{124}\text{Sn}(^{51}\text{V},5n\gamma)$  2010Ag06,1985Ba48

Level Scheme (continued)

Intensities: Relative  $I_\gamma$

Legend

- $I_\gamma < 2\% \times I_\gamma^{max}$
- $I_\gamma < 10\% \times I_\gamma^{max}$
- $I_\gamma > 10\% \times I_\gamma^{max}$



$^{170}_{73}\text{Ta}_{97}$

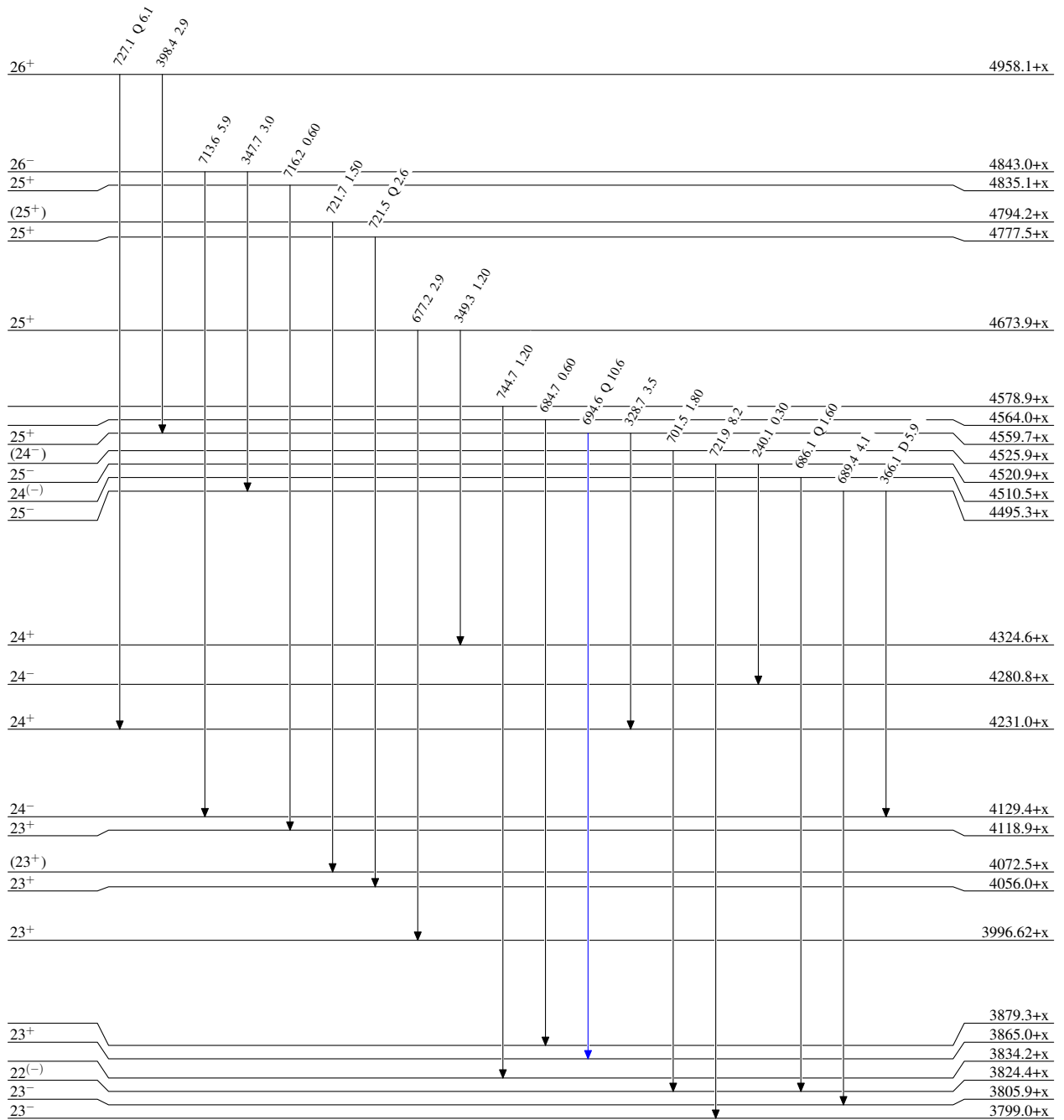
<sup>124</sup>Sn(<sup>51</sup>V,5n $\gamma$ ) 2010Ag06,1985Ba48

Level Scheme (continued)

Intensities: Relative I $\gamma$

Legend

- I $\gamma$  < 2% × I $\gamma^{max}$
- I $\gamma$  < 10% × I $\gamma^{max}$
- I $\gamma$  > 10% × I $\gamma^{max}$



<sup>170</sup>Ta<sub>97</sub>

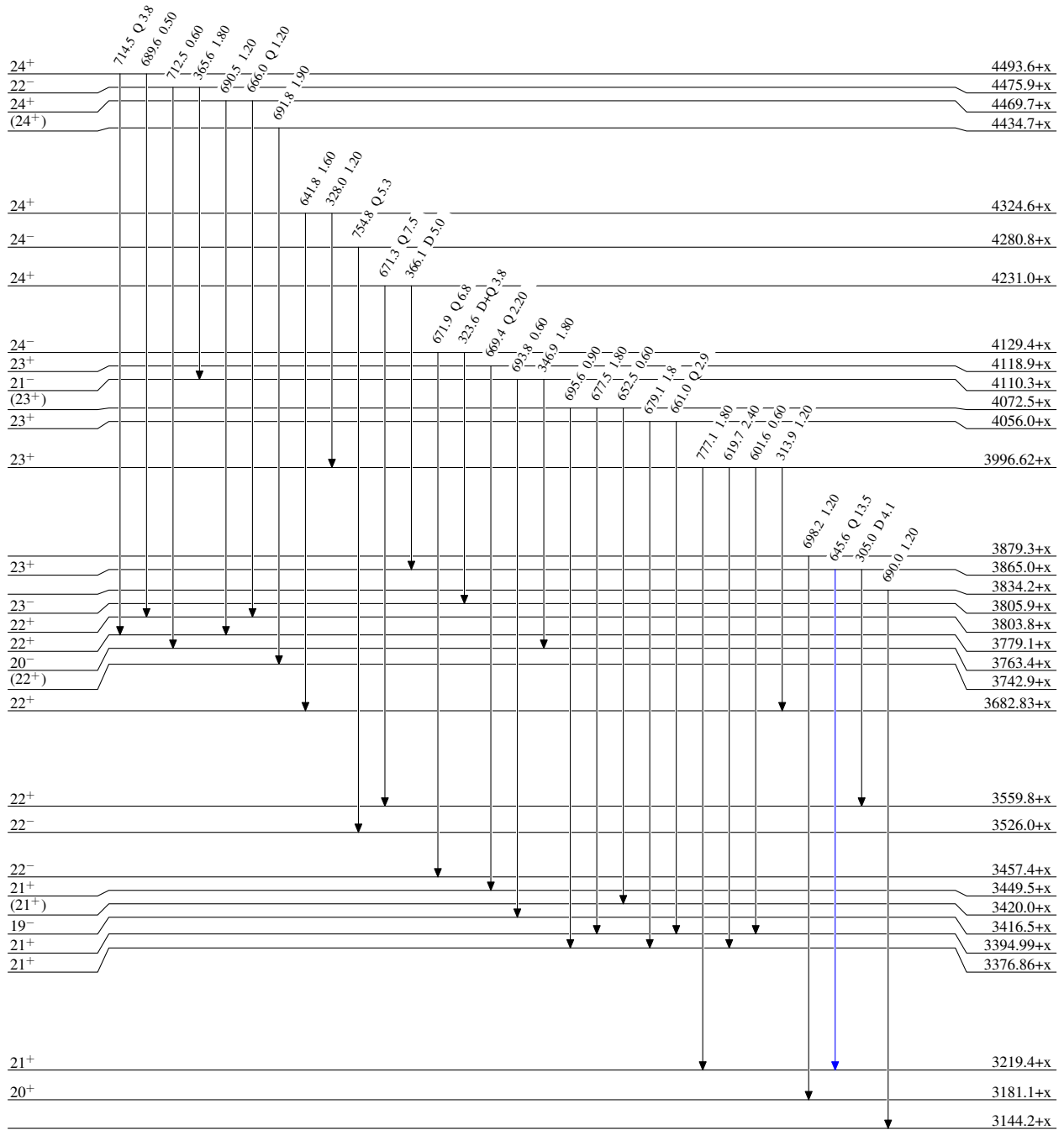
$^{124}\text{Sn}(^{51}\text{V},5n\gamma)$  2010Ag06,1985Ba48

Level Scheme (continued)

Intensities: Relative  $I_\gamma$

Legend

- $I_\gamma < 2\% \times I_\gamma^{max}$
- $I_\gamma < 10\% \times I_\gamma^{max}$
- $I_\gamma > 10\% \times I_\gamma^{max}$



$^{170}_{73}\text{Ta}_{97}$

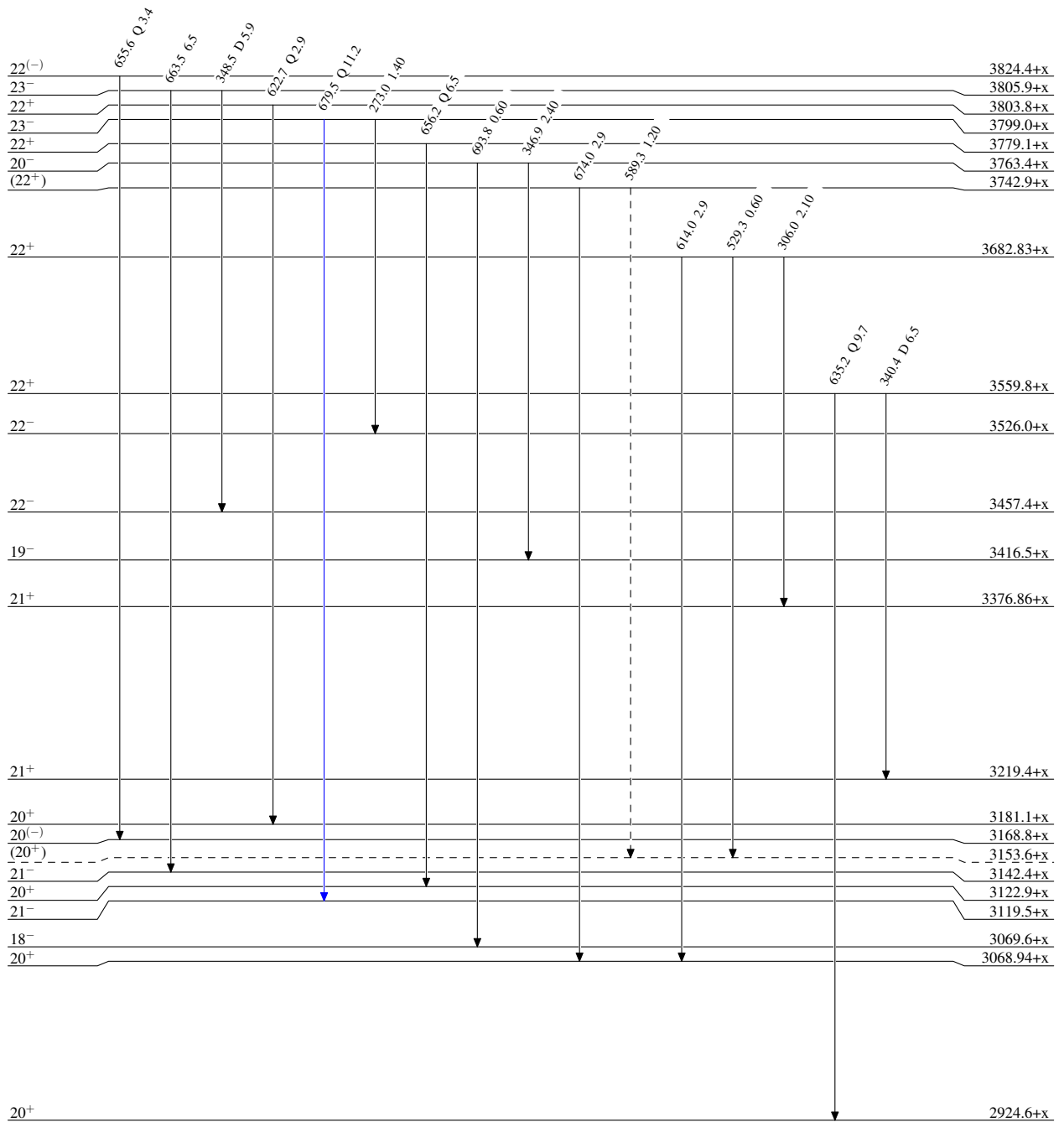
$^{124}\text{Sn}(^{51}\text{V},5\text{n}\gamma)$  2010Ag06,1985Ba48

Legend

Level Scheme (continued)

Intensities: Relative  $I_\gamma$

- $\longrightarrow$   $I_\gamma < 2\% \times I_\gamma^{max}$
- $\longrightarrow$   $I_\gamma < 10\% \times I_\gamma^{max}$
- $\longrightarrow$   $I_\gamma > 10\% \times I_\gamma^{max}$
- $\dashrightarrow$   $\gamma$  Decay (Uncertain)



$^{170}_{73}\text{Ta}_{97}$

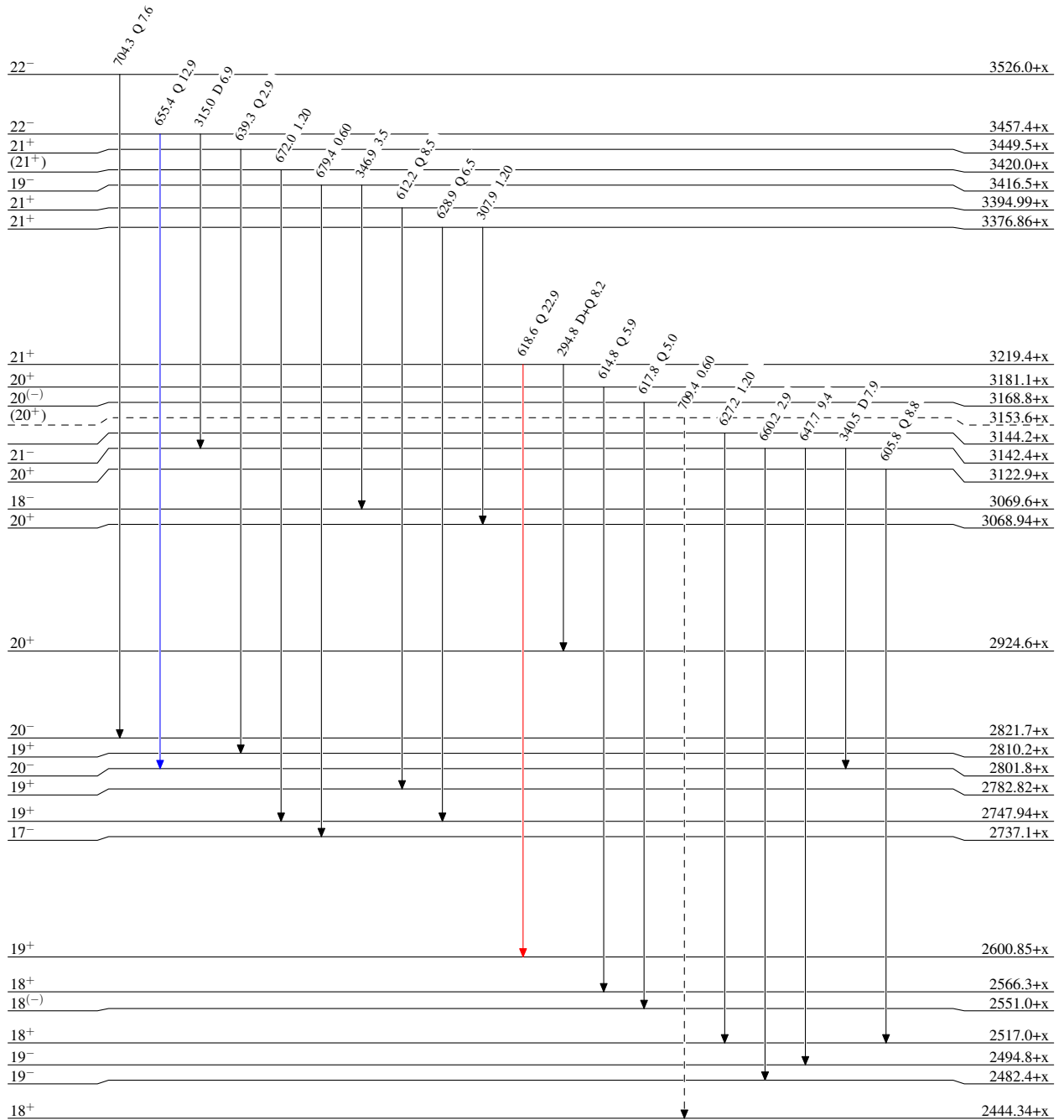
$^{124}\text{Sn}(^{51}\text{V},5n\gamma)$  2010Ag06,1985Ba48

Legend

Level Scheme (continued)

Intensities: Relative  $I_\gamma$

- $\longrightarrow$   $I_\gamma < 2\% \times I_\gamma^{\text{max}}$
- $\longrightarrow$   $I_\gamma < 10\% \times I_\gamma^{\text{max}}$
- $\longrightarrow$   $I_\gamma > 10\% \times I_\gamma^{\text{max}}$
- $\dashrightarrow$   $\gamma$  Decay (Uncertain)



$^{170}_{73}\text{Ta}_{97}$

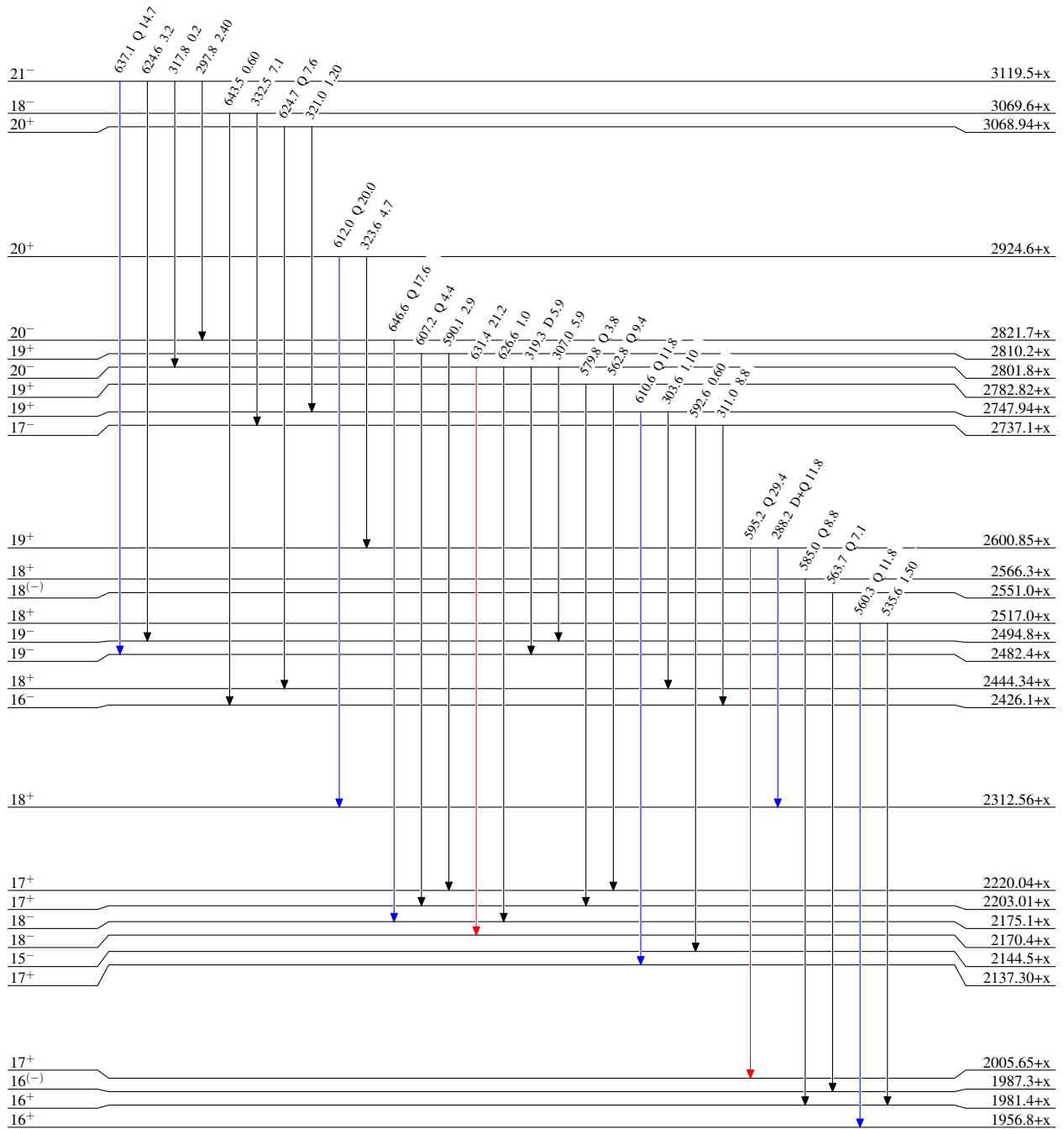
$^{124}\text{Sn}(^{51}\text{V},5\text{n}\gamma)$  2010Ag06,1985Ba48

Level Scheme (continued)

Intensities: Relative  $I_\gamma$

Legend

- $I_\gamma < 2\% \times I_\gamma^{\text{max}}$
- $I_\gamma < 10\% \times I_\gamma^{\text{max}}$
- $I_\gamma > 10\% \times I_\gamma^{\text{max}}$





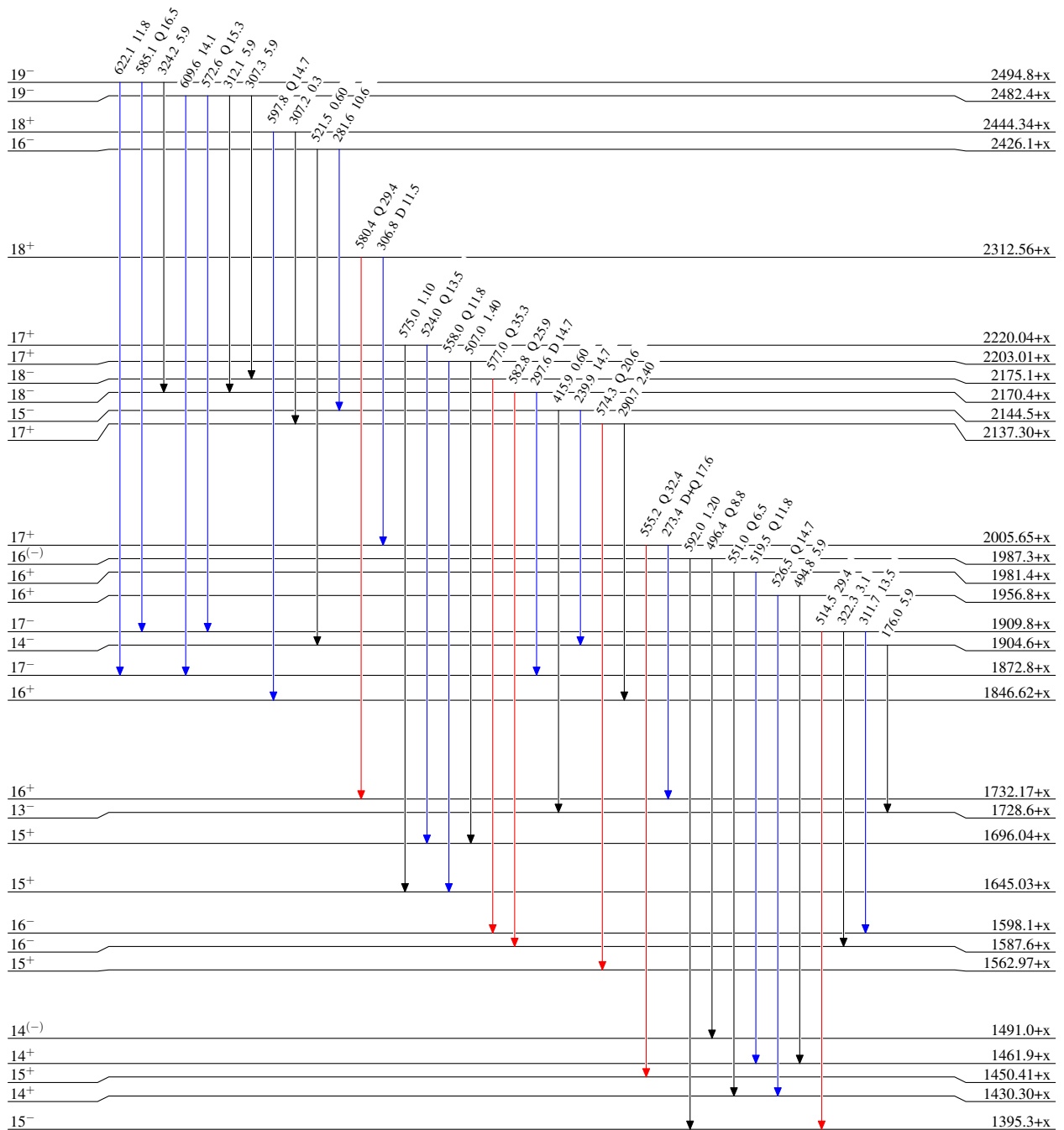
$^{124}\text{Sn}(^{51}\text{V},5n\gamma)$  2010Ag06,1985Ba48

Level Scheme (continued)

Intensities: Relative  $I_\gamma$

Legend

- $I_\gamma < 2\% \times I_\gamma^{max}$
- $I_\gamma < 10\% \times I_\gamma^{max}$
- $I_\gamma > 10\% \times I_\gamma^{max}$



$^{170}_{73}\text{Ta}_{97}$

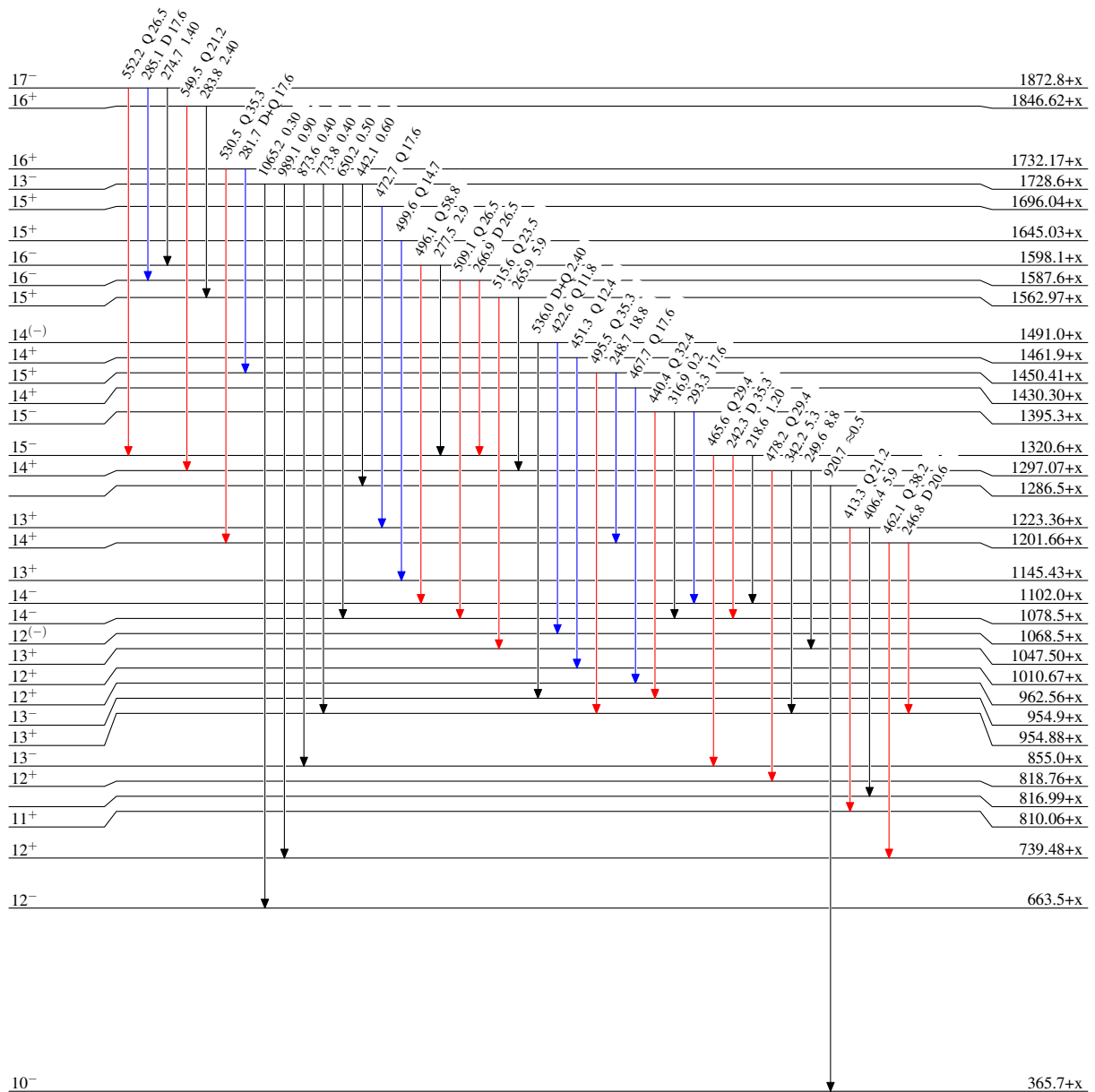
$^{124}\text{Sn}(^{51}\text{V},5\text{n}\gamma)$  2010Ag06,1985Ba48

Level Scheme (continued)

Intensities: Relative  $I_\gamma$

Legend

- $I_\gamma < 2\% \times I_\gamma^{\text{max}}$
- $I_\gamma < 10\% \times I_\gamma^{\text{max}}$
- $I_\gamma > 10\% \times I_\gamma^{\text{max}}$



$^{170}_{73}\text{Ta}_{97}$

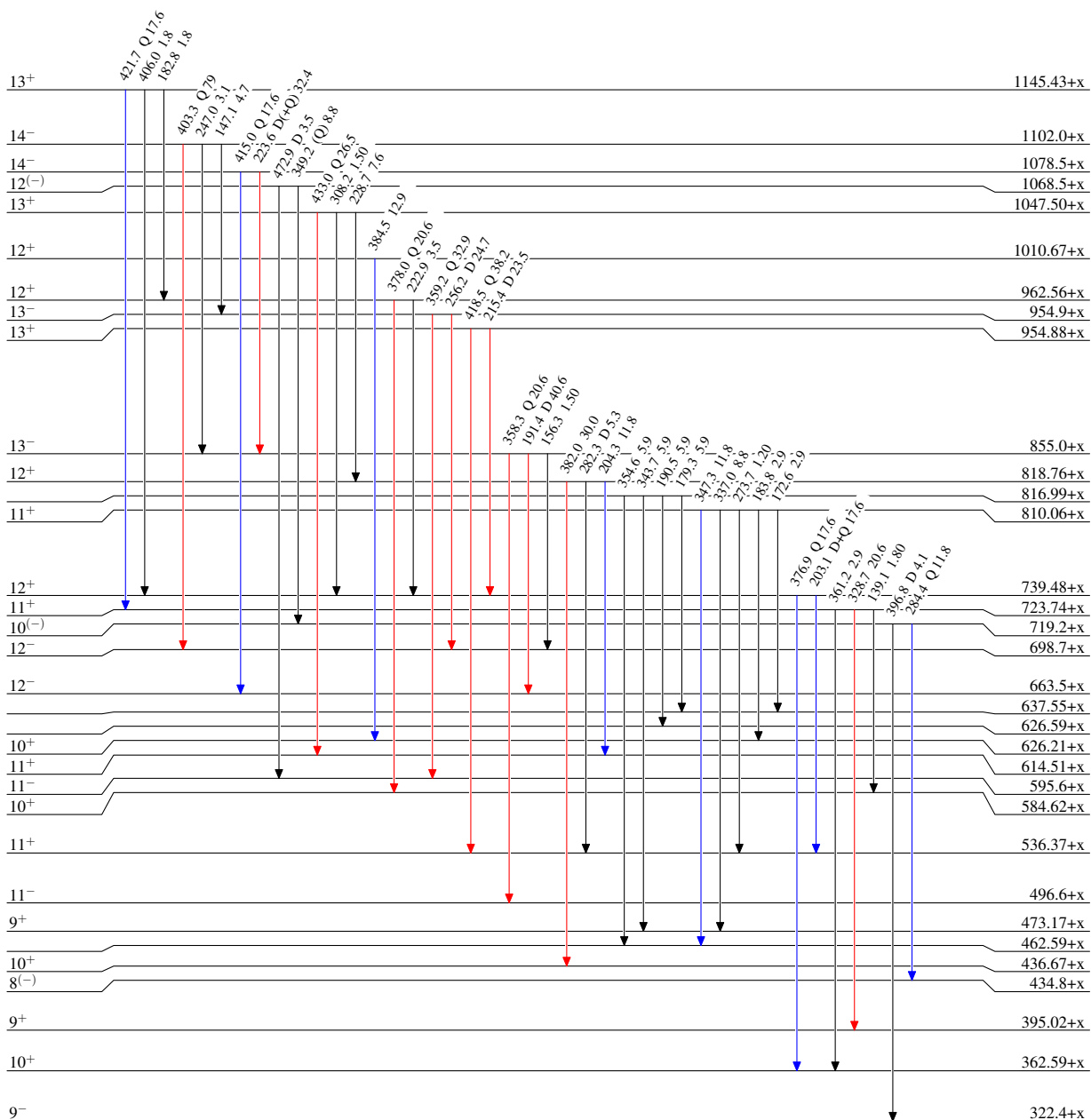
$^{124}\text{Sn}(^{51}\text{V},5n\gamma)$  2010Ag06,1985Ba48

Level Scheme (continued)

Intensities: Relative  $I_\gamma$

Legend

- Black arrow:  $I_\gamma < 2\% \times I_\gamma^{\text{max}}$
- Blue arrow:  $I_\gamma < 10\% \times I_\gamma^{\text{max}}$
- Red arrow:  $I_\gamma > 10\% \times I_\gamma^{\text{max}}$



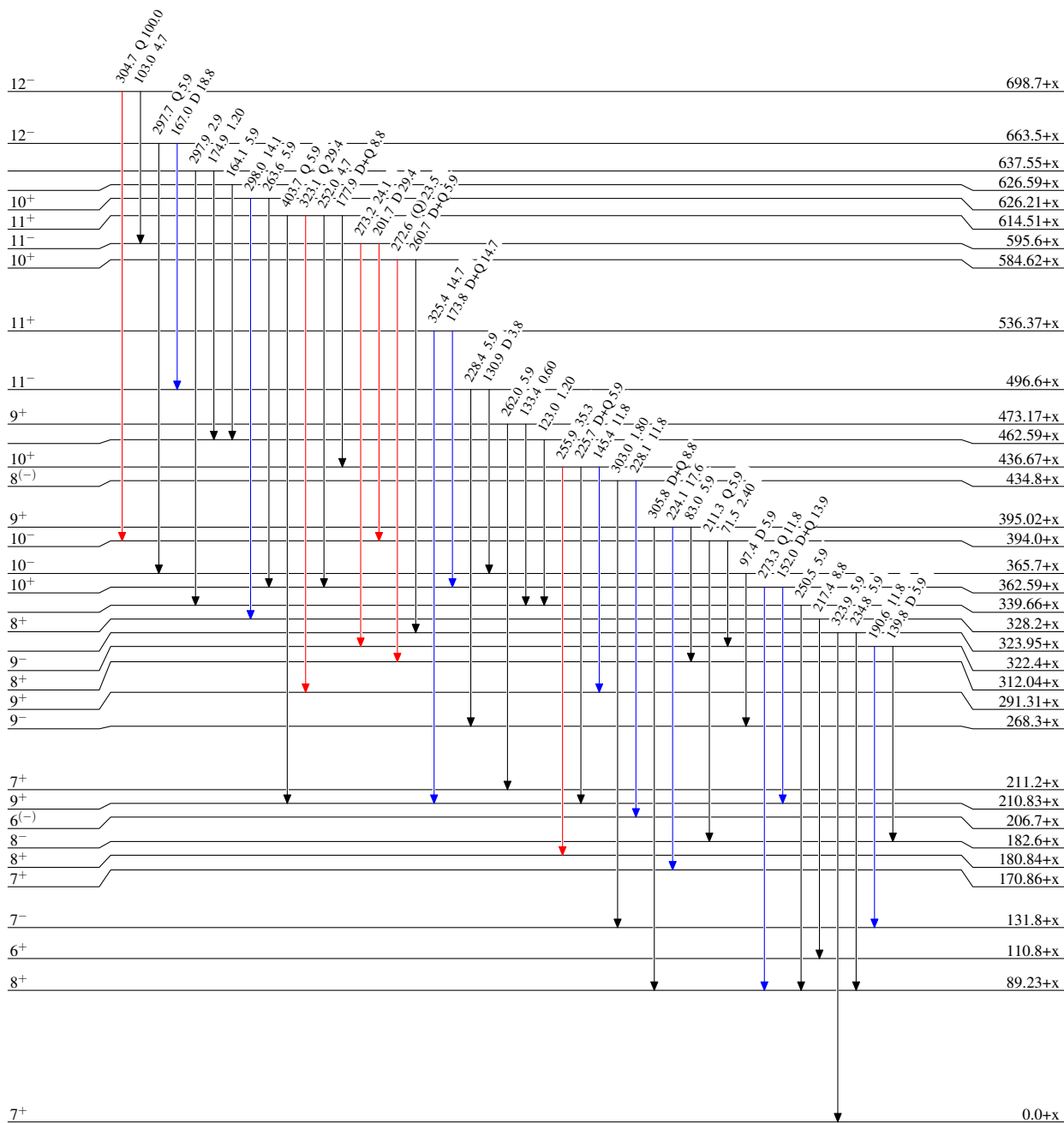
<sup>124</sup>Sn(<sup>51</sup>V,5n $\gamma$ ) 2010Ag06,1985Ba48

Level Scheme (continued)

Intensities: Relative I <sub>$\gamma$</sub>

Legend

- I <sub>$\gamma$</sub>  < 2% × I <sub>$\gamma$</sub> <sup>max</sup>
- I <sub>$\gamma$</sub>  < 10% × I <sub>$\gamma$</sub> <sup>max</sup>
- I <sub>$\gamma$</sub>  > 10% × I <sub>$\gamma$</sub> <sup>max</sup>



<sup>170</sup>Ta<sub>97</sub>

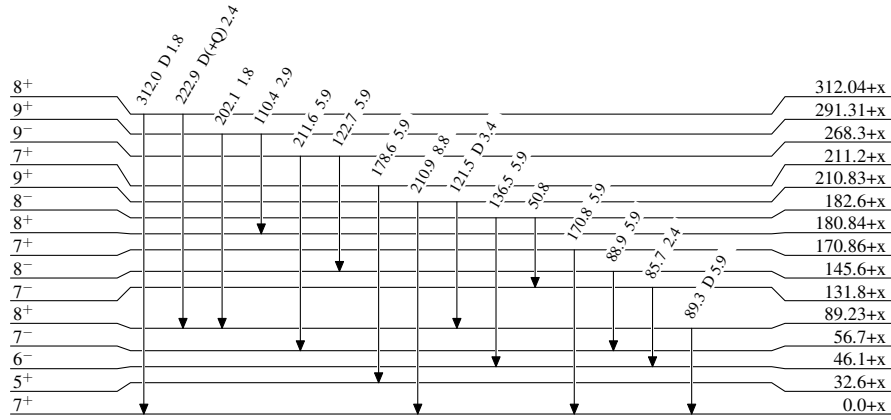
$^{124}\text{Sn}(^{51}\text{V},5\text{n}\gamma)$  2010Ag06,1985Ba48

Level Scheme (continued)

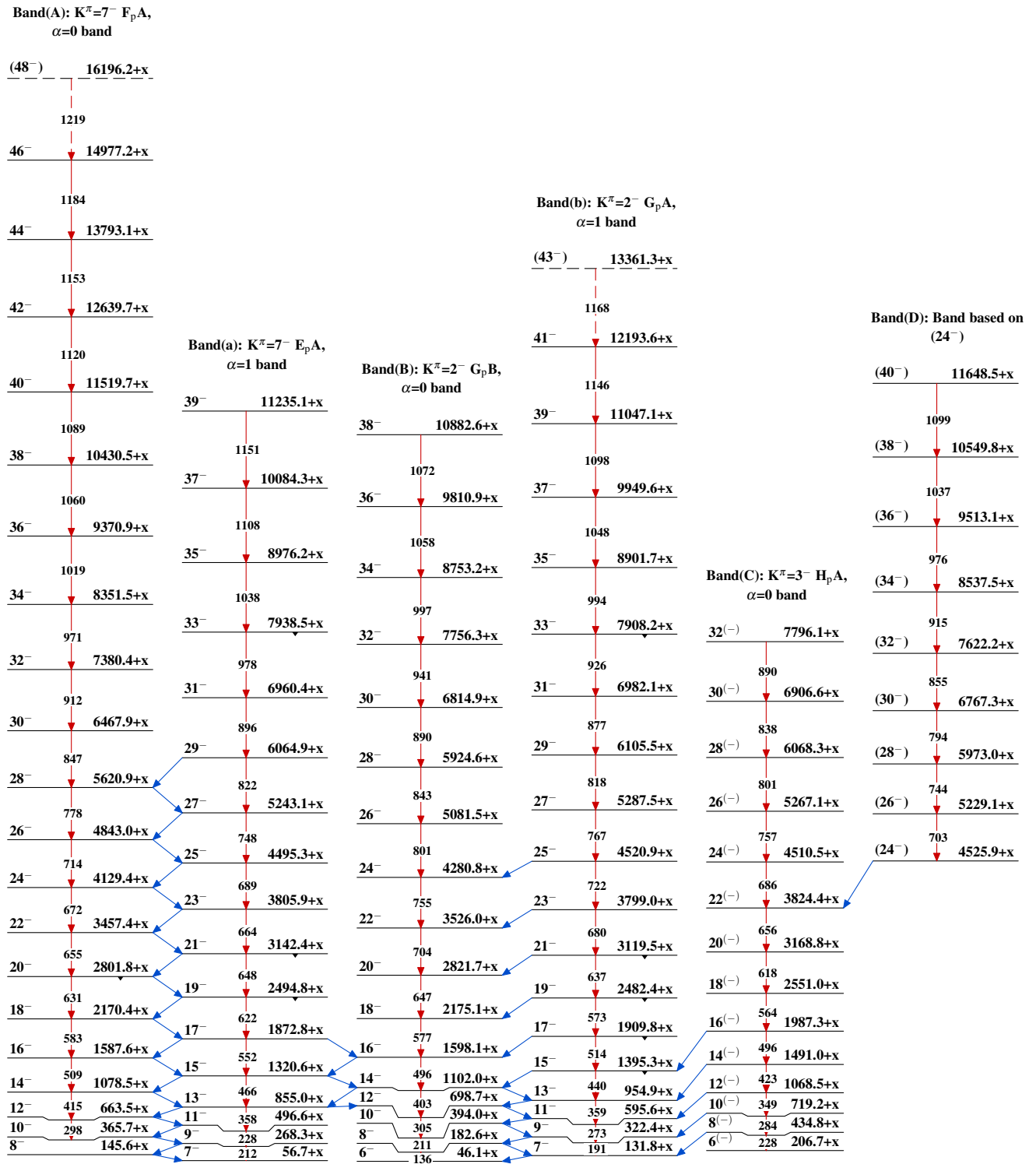
Intensities: Relative  $I_\gamma$

Legend

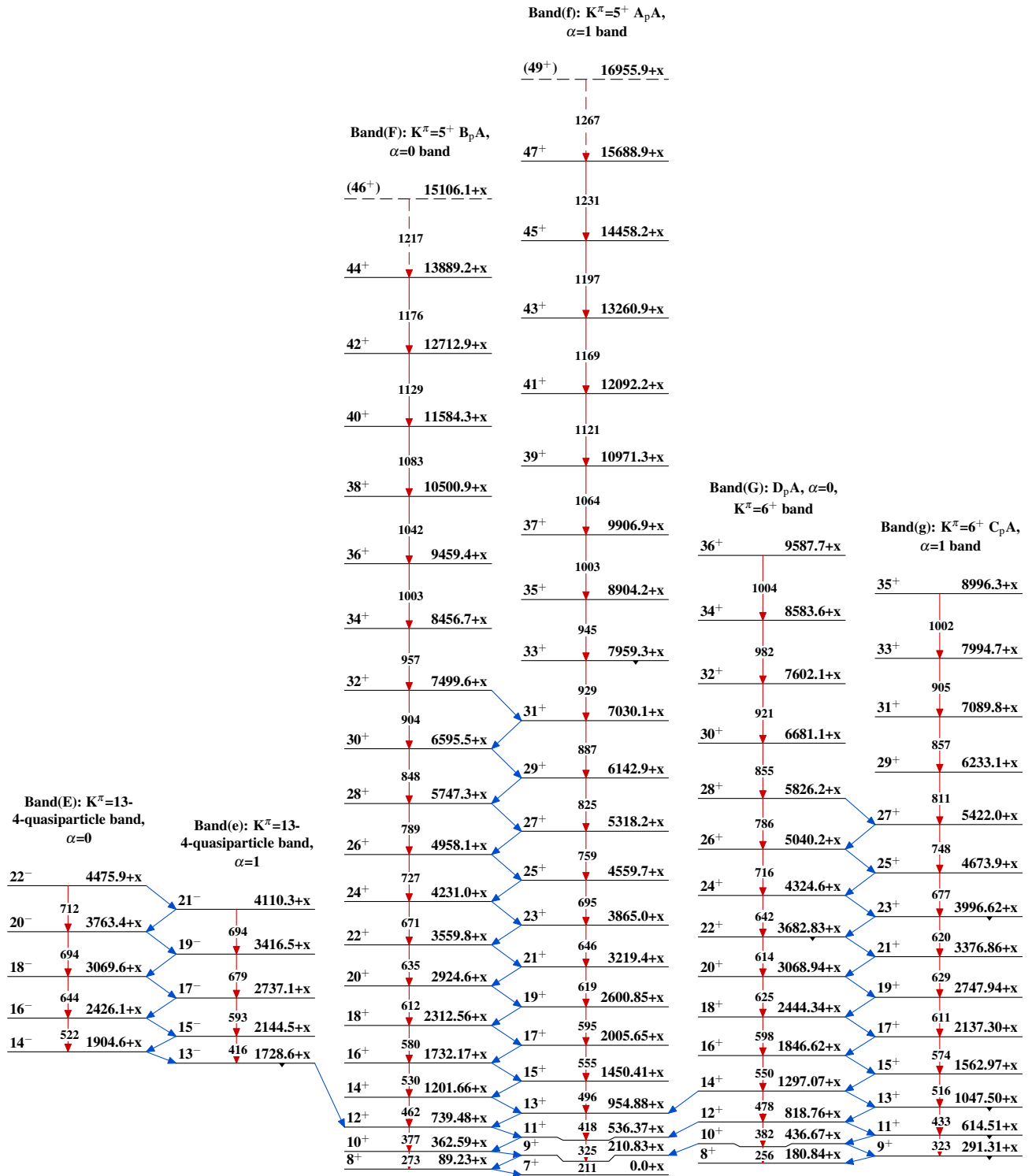
- $\blacktriangleright$   $I_\gamma < 2\% \times I_\gamma^{max}$
- $\color{blue}\blacktriangleright$   $I_\gamma < 10\% \times I_\gamma^{max}$
- $\color{red}\blacktriangleright$   $I_\gamma > 10\% \times I_\gamma^{max}$



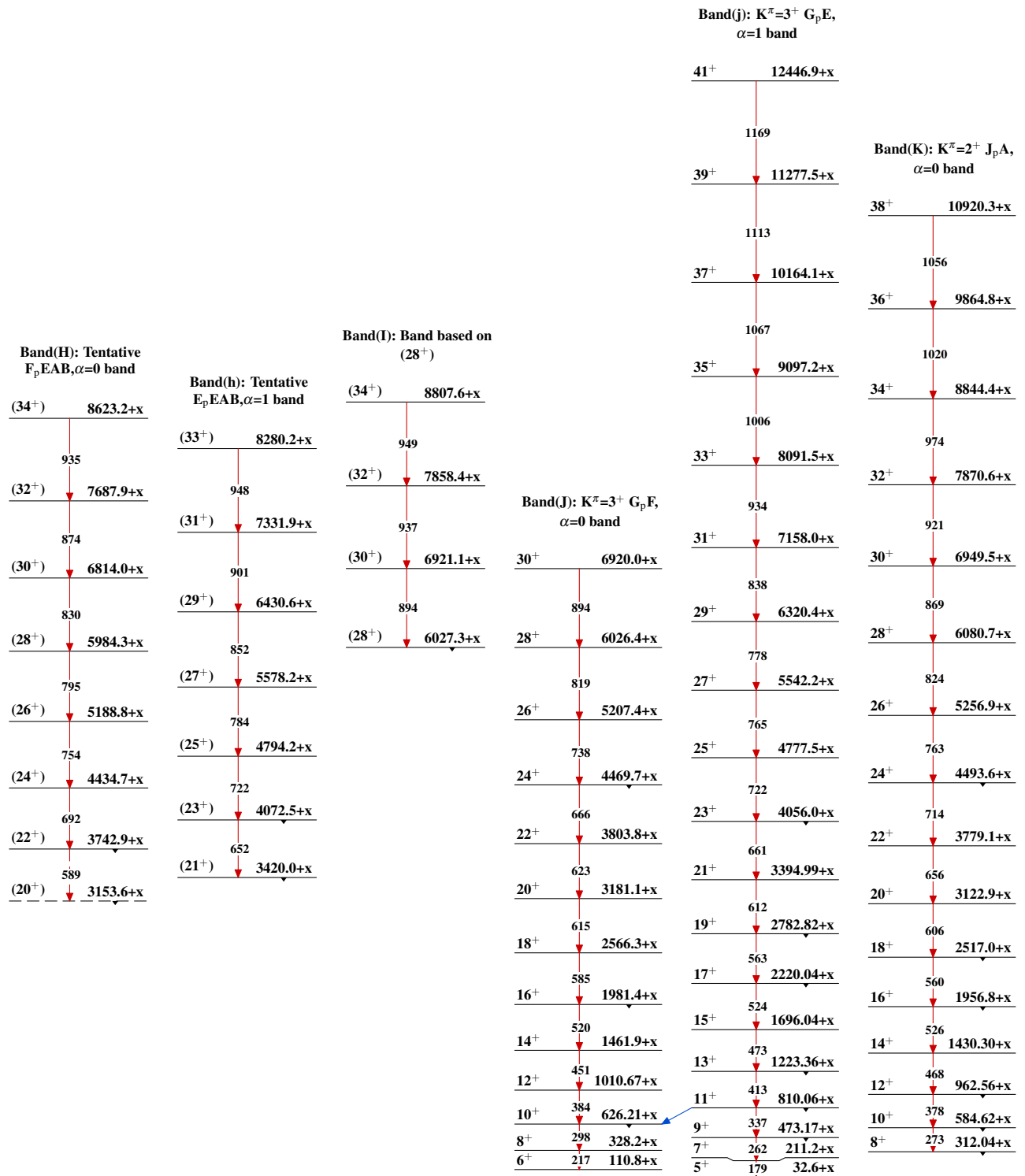
$^{170}_{73}\text{Ta}_{97}$

$^{124}\text{Sn}(^{51}\text{V},5\text{n}\gamma)$  2010Ag06,1985Ba48 $^{170}_{73}\text{Ta}_{97}$

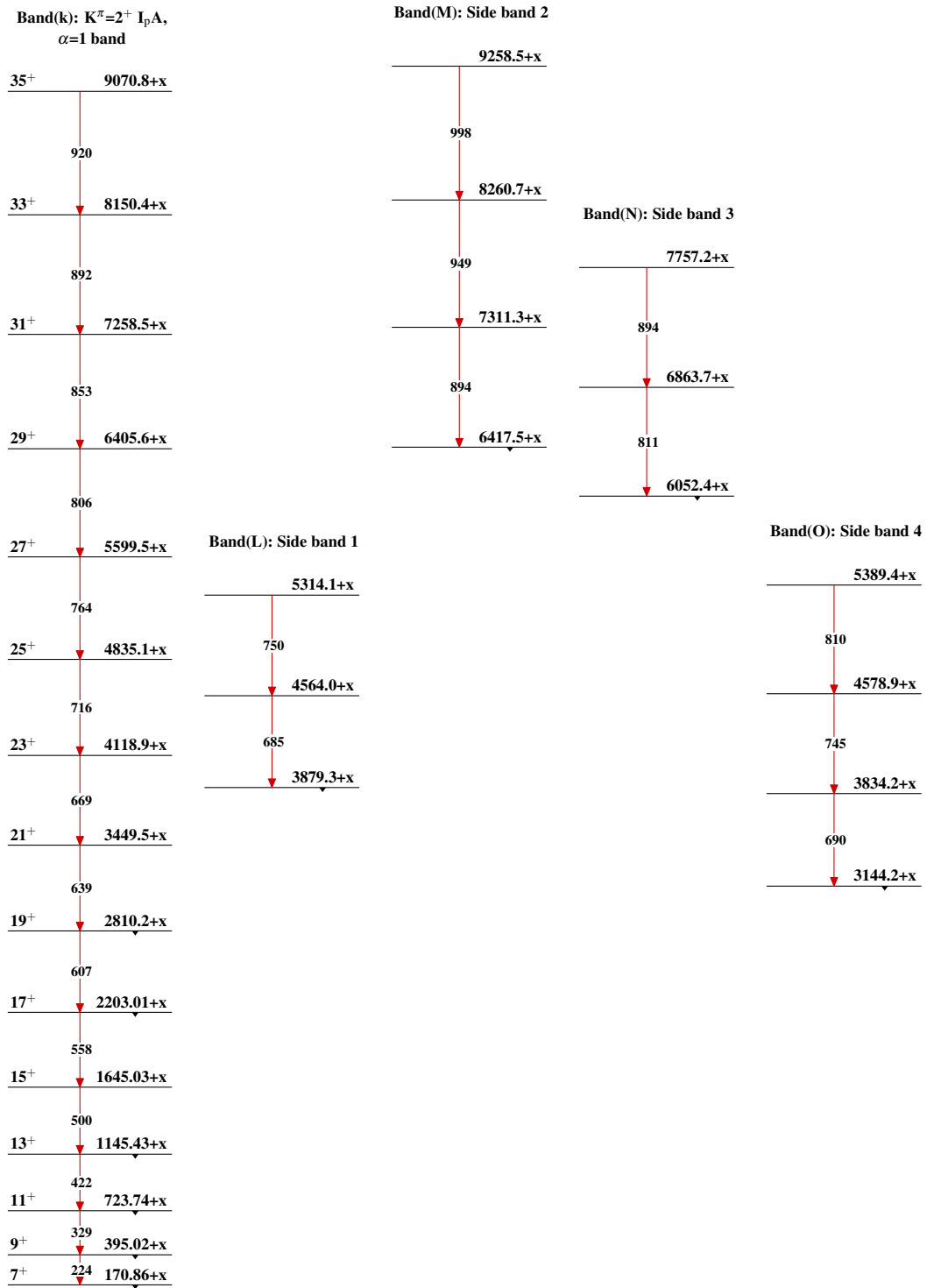
<sup>124</sup>Sn(<sup>51</sup>V,5n $\gamma$ ) 2010Ag06,1985Ba48 (continued)



<sup>170</sup>Ta<sub>97</sub>

$^{124}\text{Sn}(^{51}\text{V},5n\gamma)$  2010Ag06,1985Ba48 (continued)



$^{124}\text{Sn}(\text{}^51\text{V},5\text{n}\gamma)$  2010Ag06,1985Ba48 (continued) $^{170}_{73}\text{Ta}_{97}$